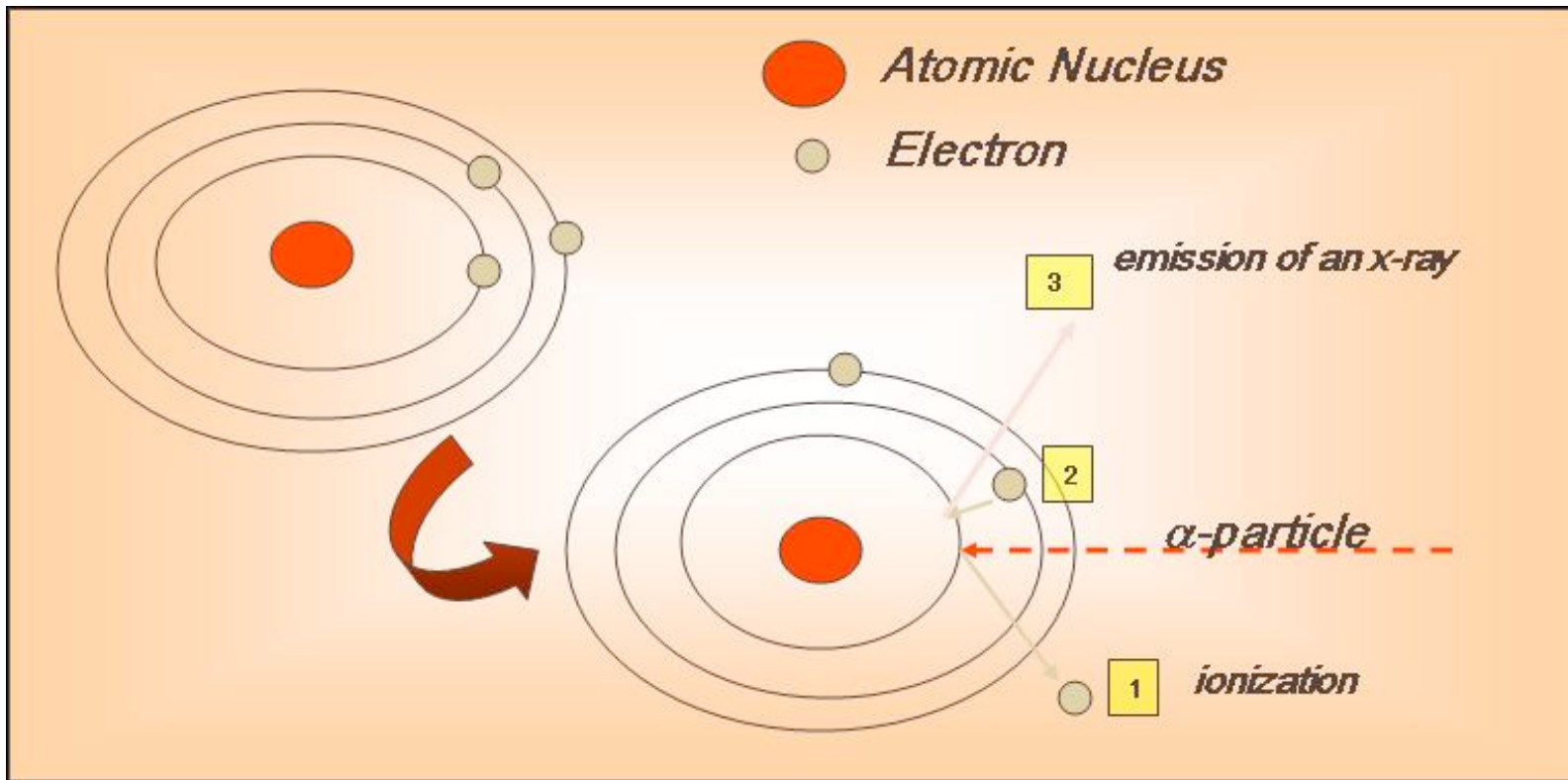


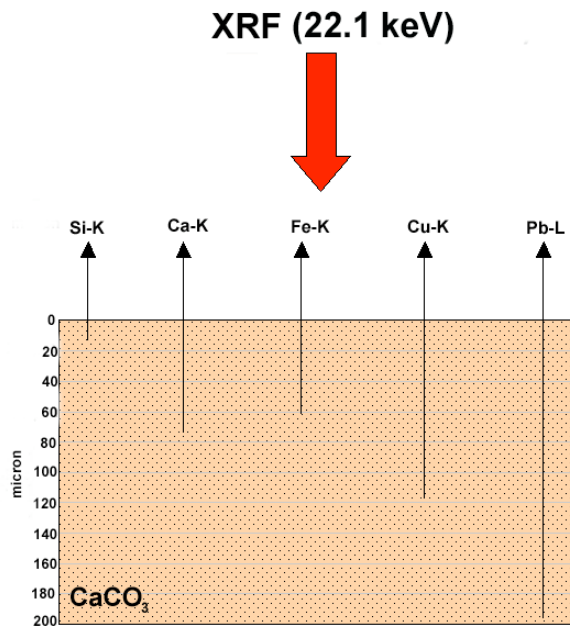
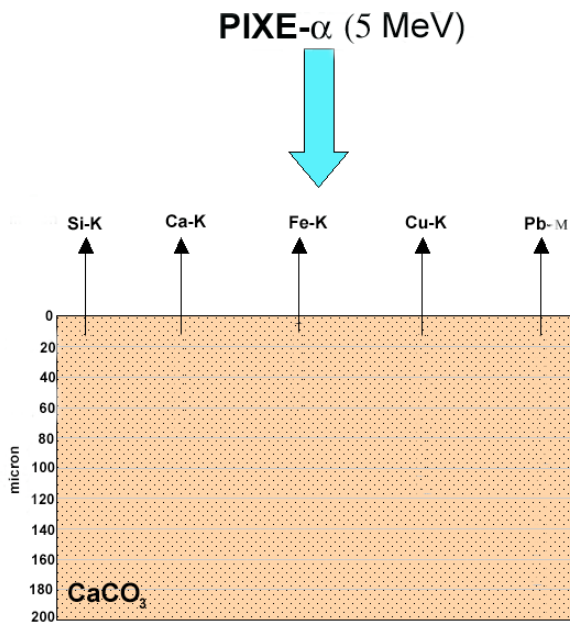
USO COMBINATO DEI SISTEMI PORTATILI PIXE-ALFA E XRD
PER LA DETERMINAZIONE QUANTITATIVA, NON
DISTRUTTIVA, DI PIGMENTI.

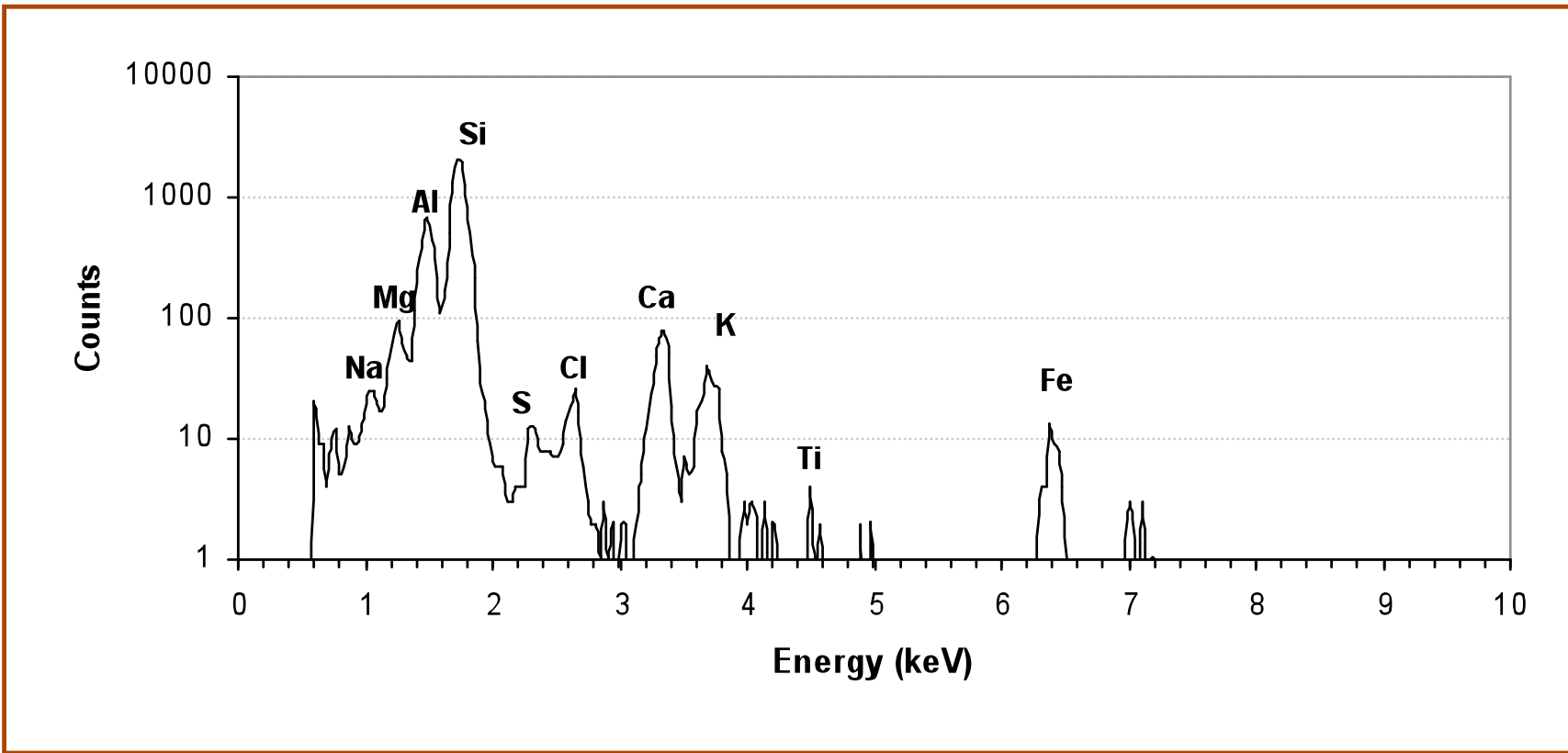
G. Pappalardo^{1,3}, L. Pappalardo^{1,2}, F. Rizzo^{1,3}, F.P. Romano^{1,2}

1. *LANDIS, Laboratori Nazionali del Sud, Catania*
2. *IBAM, CNR, Catania*
3. *Dipart. Fis. E Astronom., Università di Catania, Catania*

PIXE – Particle Induced X-ray Emission

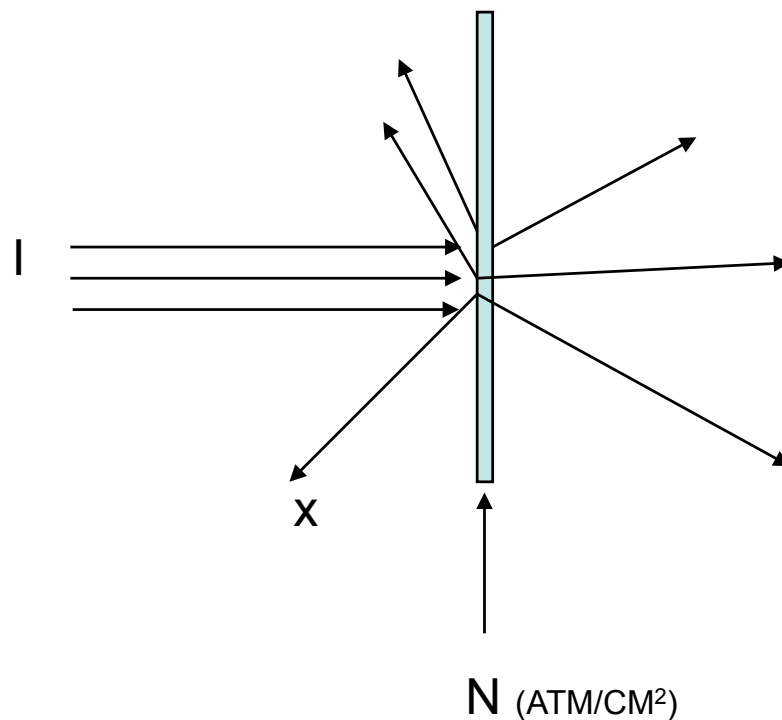






PIXE – ANALISI QUANTITATIVA

TARGHETTE SOTTILI

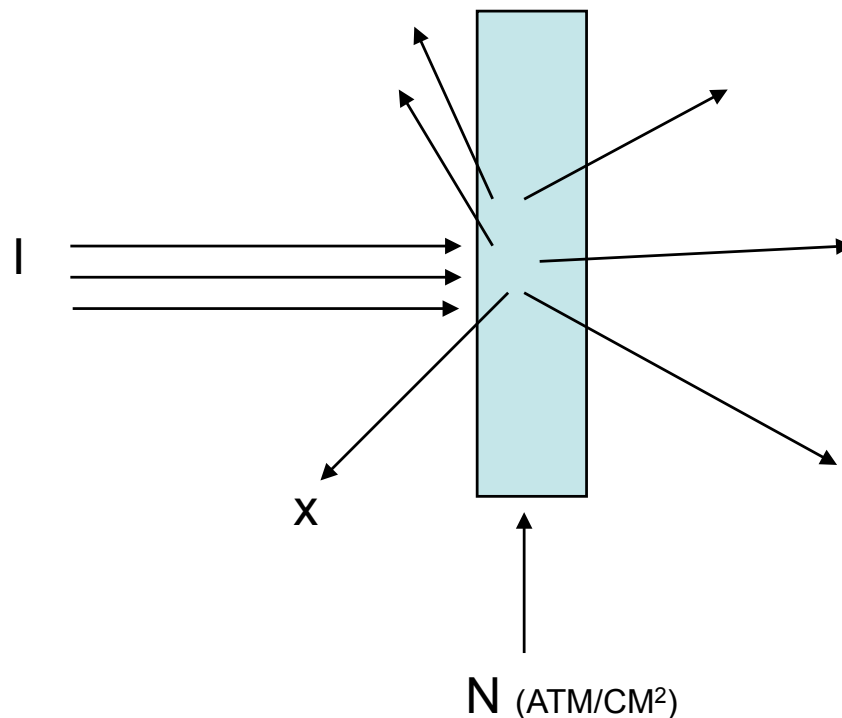


$$\sigma = X/(NI) \rightarrow N = X/(I\sigma)$$

$$X' \text{ rivelati} = f(X, \text{Assorb}, \Delta\Omega)$$

PIXE – ANALISI QUANTITATIVA

TARGHETTE SPESSE



$$\sigma = X/(NI) \rightarrow N = X/(I\sigma)$$

$$X' \text{ rivelati} = f(X, \text{Assorb}, \Delta\Omega, \text{Auto-Ass.} + \text{altri effetti})$$

Auto-assorbimento dipende dalle concentrazioni che si vogliono determinare

AUTO ASSORBIMENTO

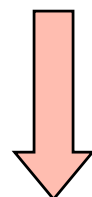
- 1) Tutto quello che rивело nello spettro è tutto quello contenuto nel campione (Elementi Visibili)
- 2) Quello che rивело nello spettro è solo parte di quello che è contenuto nel campione (Elementi Invisibili)

ENTRAMBI I CASI VENGONO RISOLTI PER MEZZO DI PROCEDURE DI ITERAZIONE

Nel Caso 2 è necessario che gli elementi invisibili (tipicamente Ossigeno, Carbonio o altri radicali) siano legati stechiometricamente agli elementi visibili

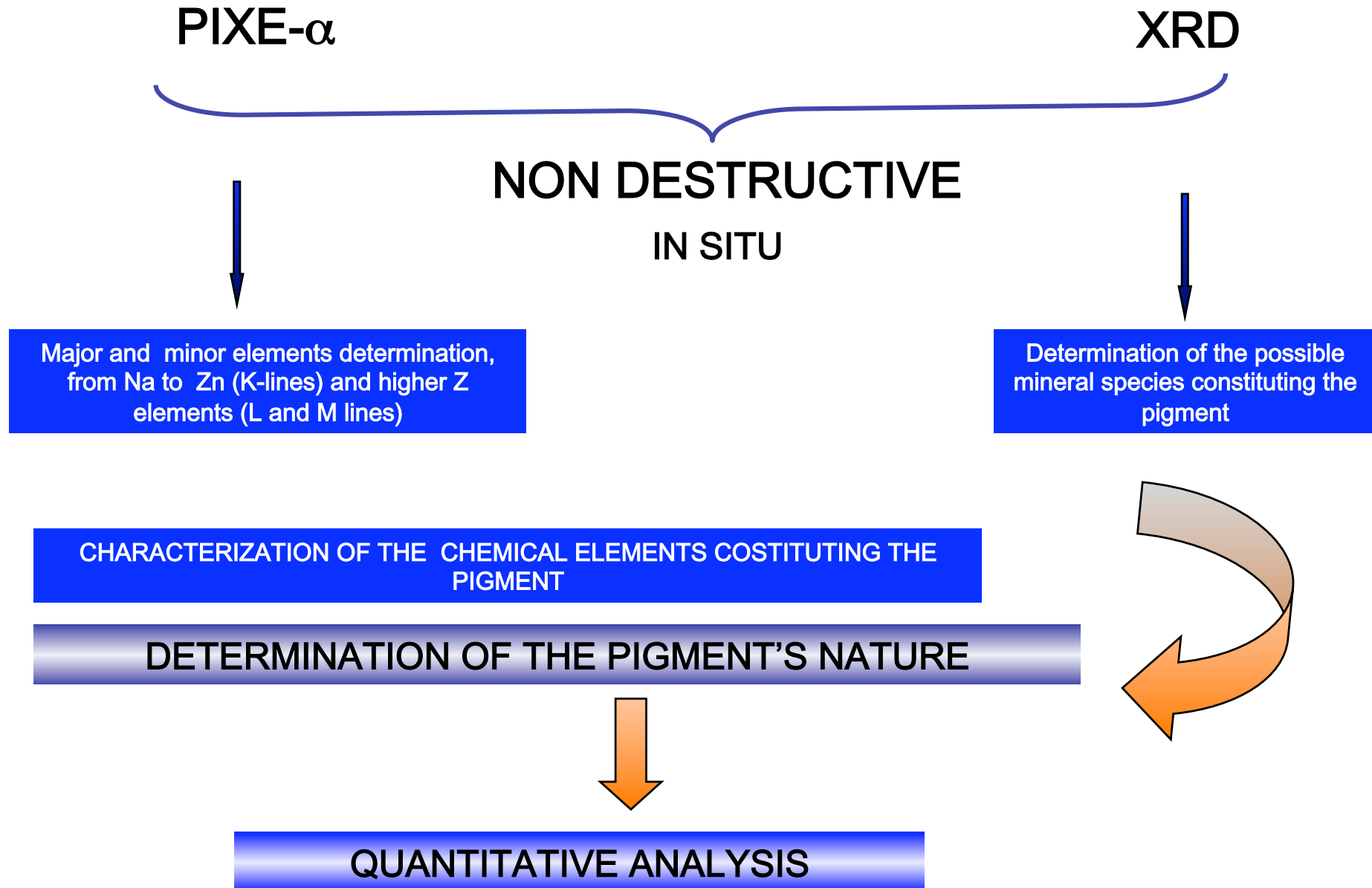
IL SOFTWARE GUPIX (PRODOTTO
DALL'UNIVERSITA' DI GUELPH, CANADA)
PERMETTE IL CALCOLO DELLE
CONCENTRAZIONI

PROBLEMA PRINCIPALE:
COME STABILIRE QUALI ELEMENTI INVISIBILI,
LEGATI STECHIOMETRICAMENTE AI
VISIBILI, SONO PRESENTI ?



Occorre servirsi di altri metodi di analisi di
composti (per es. Raman o XRD)

PROCEDURA

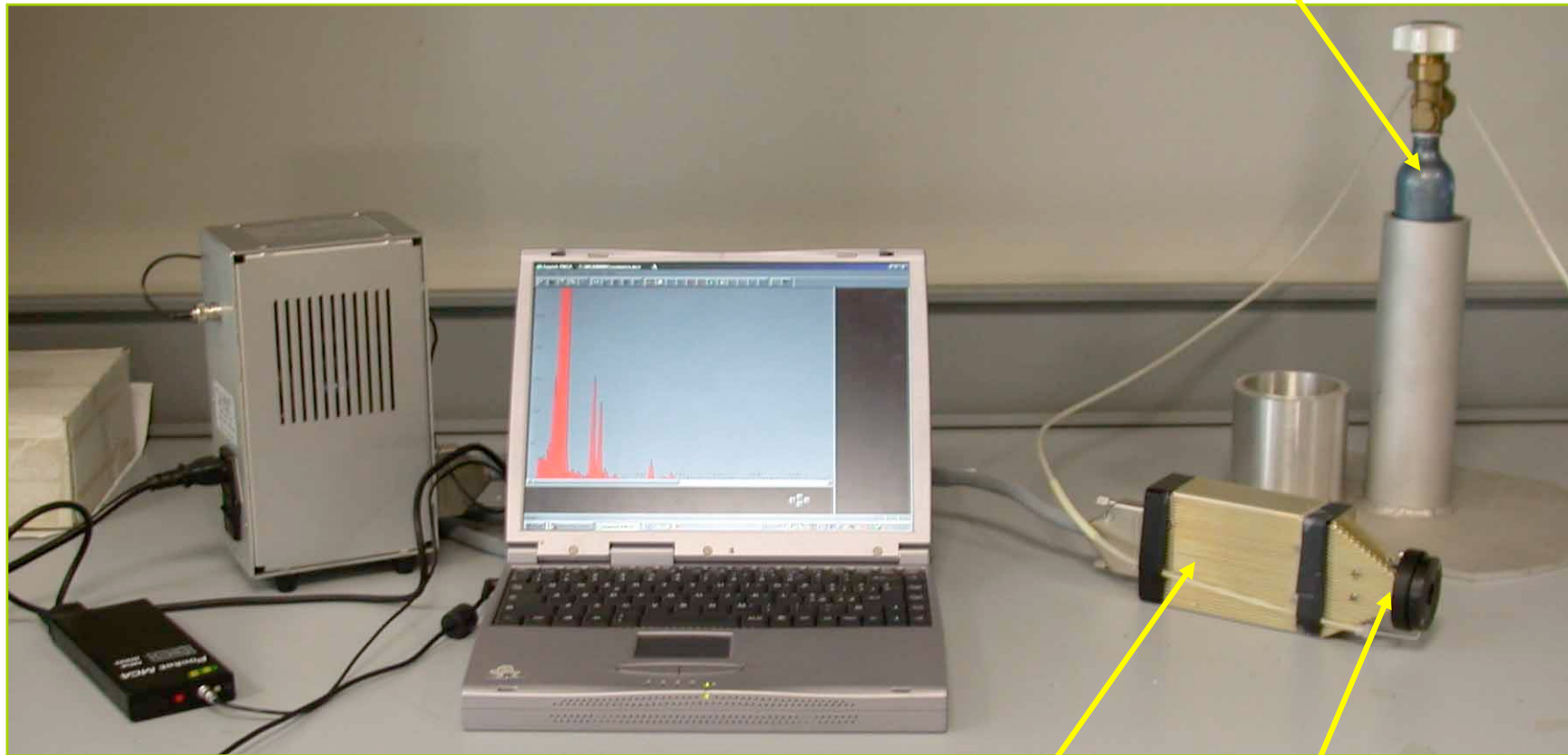


APPLICAZIONI AD AFFRESCHI DI EPOCA ROMANA

E' INDISPENSABILE OPERARE CON
STRUMENTAZIONE PORTATILE!

The PIXE-alpha spectrometer

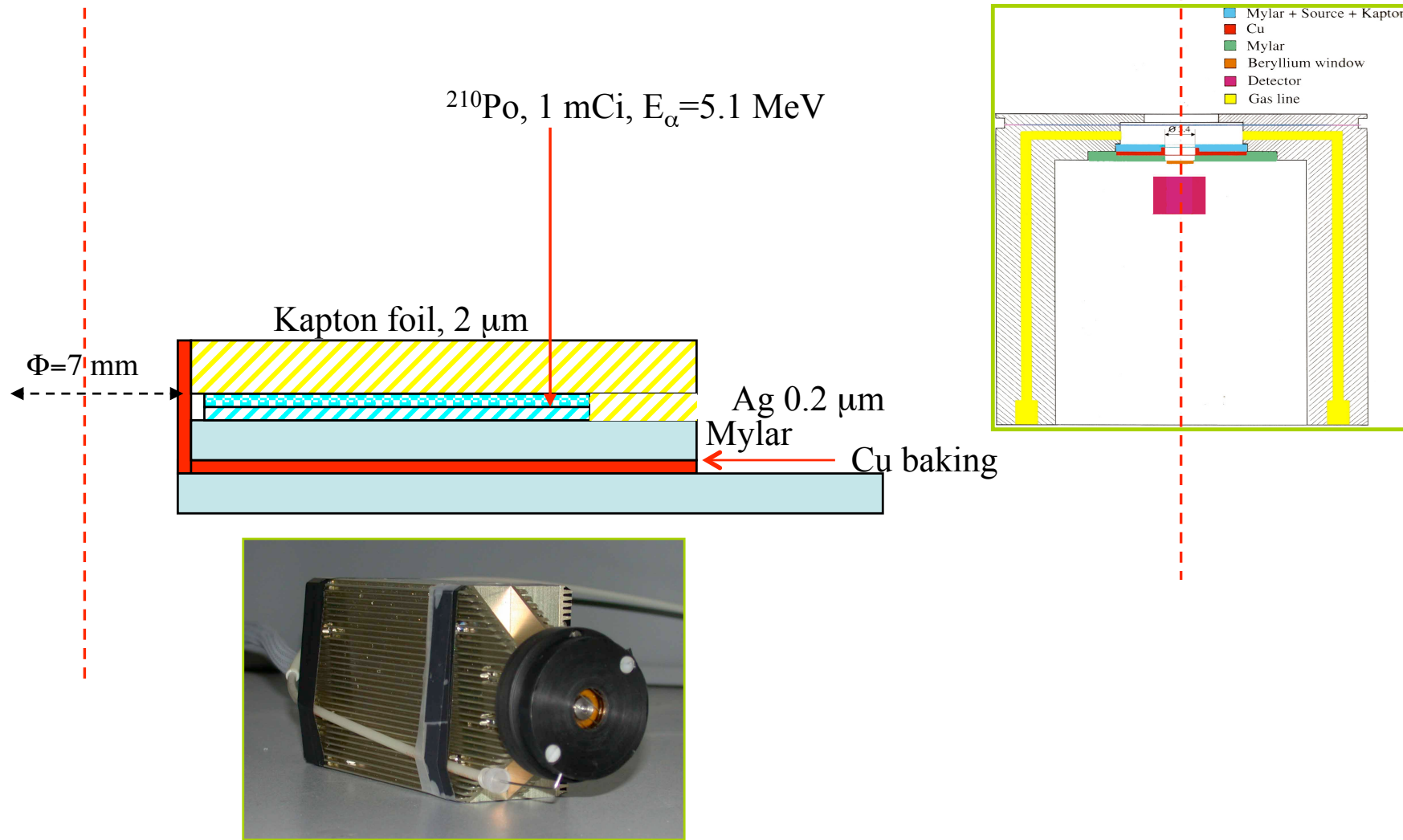
He FLUX



DETECTOR

α -SOURCE

THE SOURCE

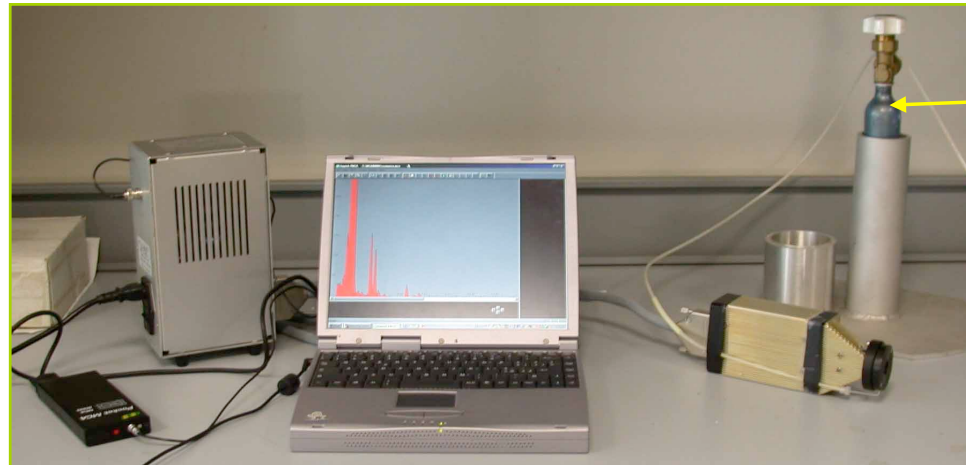




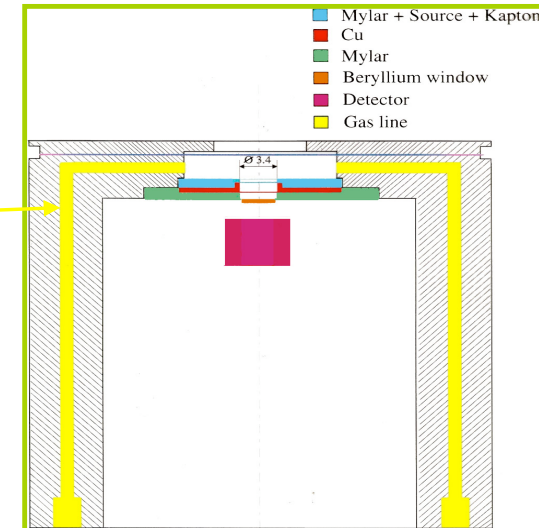
THE DETECTOR

- Peltier cooled
- Si drift
- 10 mm^2
- Resolution of 146 eV at 5.9 KeV
- $8 \mu\text{m}$ Be window
- Produced by KEVEK and assembled by EIS

The Helium Flux



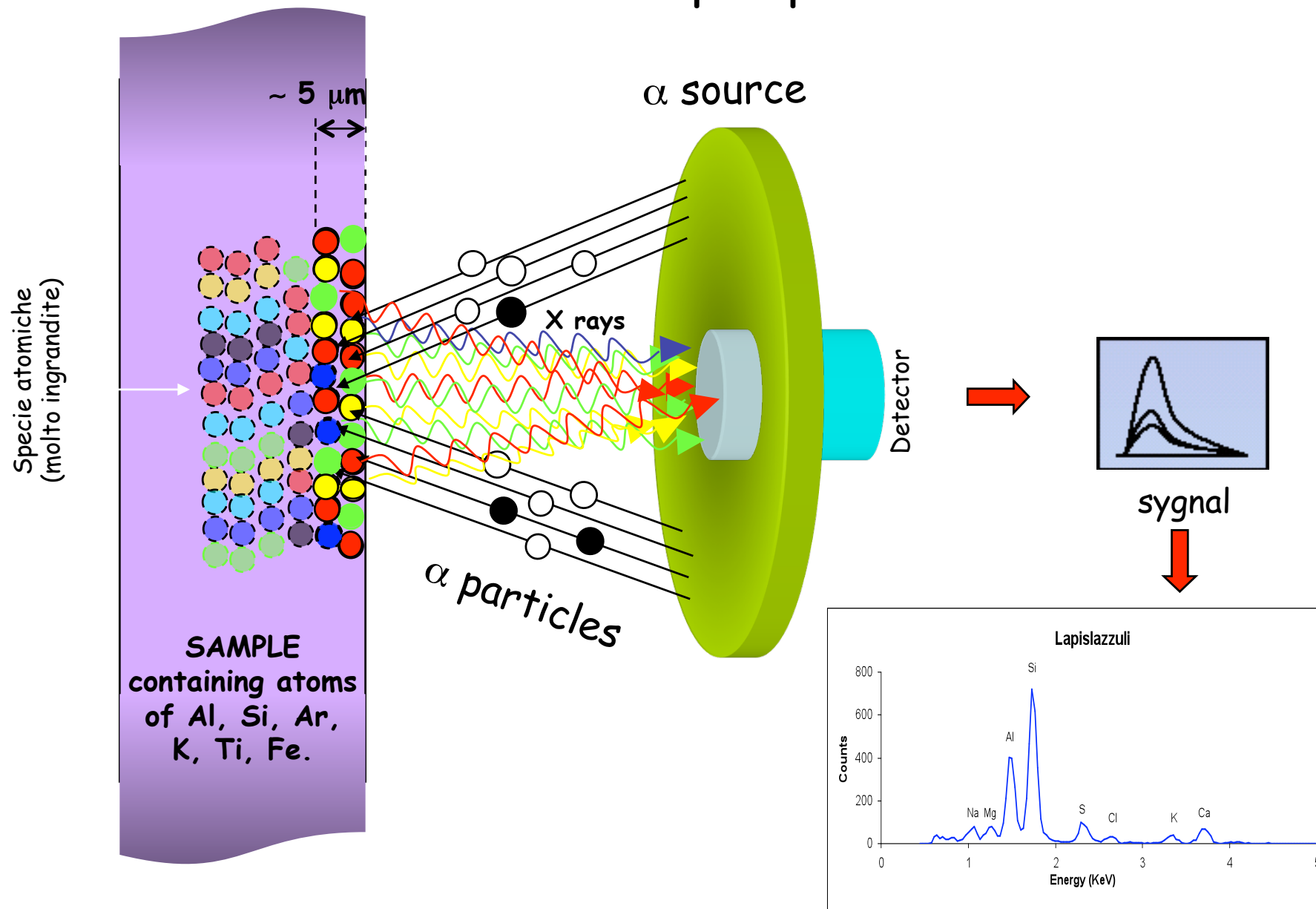
10 l/h



Inhibition of the presence of air gases,
in particular of Ar ($k_{\alpha}=2.95$ keV)

Better definition of the low atomic number
elements, such as Na

PIXE - α Basic principle

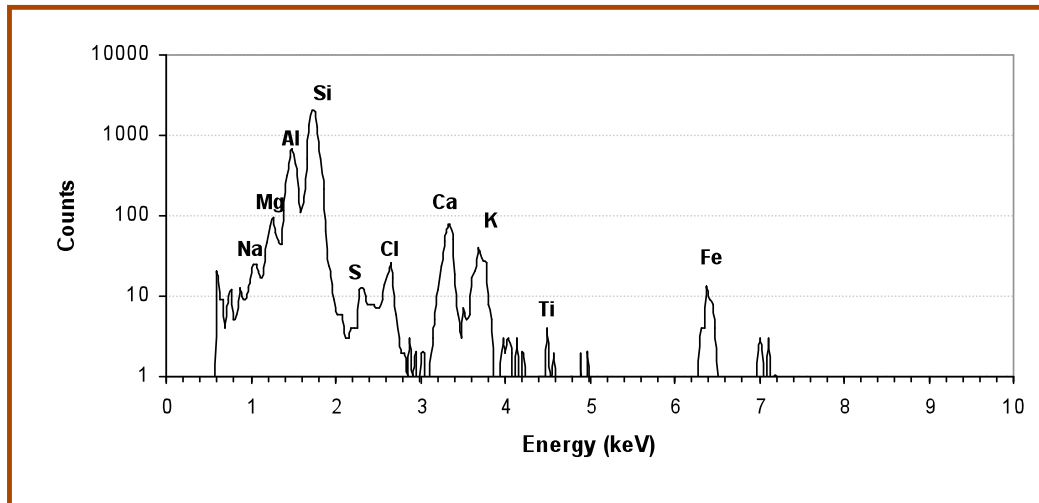


Energy spectrum of a lapislazzuli.

QUANTITATIVE ANALYSIS

Performed by GUPIX 2003 CODE .

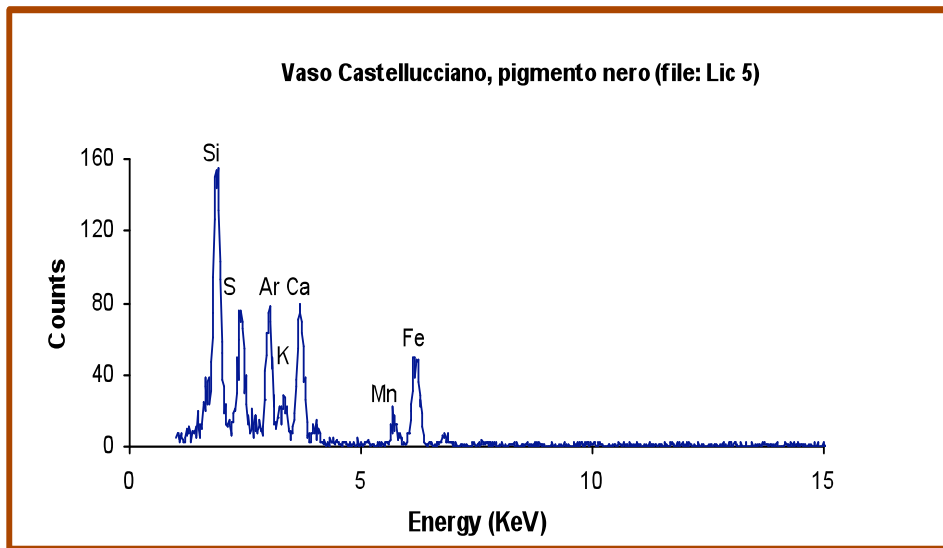
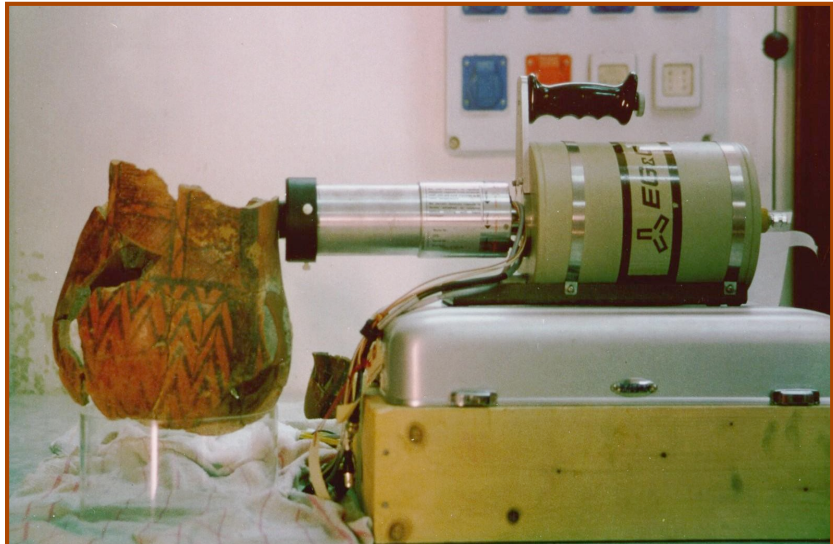
(Maxwell J., Teesdale A., Campbell J. L, 2003), in the “Matrix Calculation” Mode



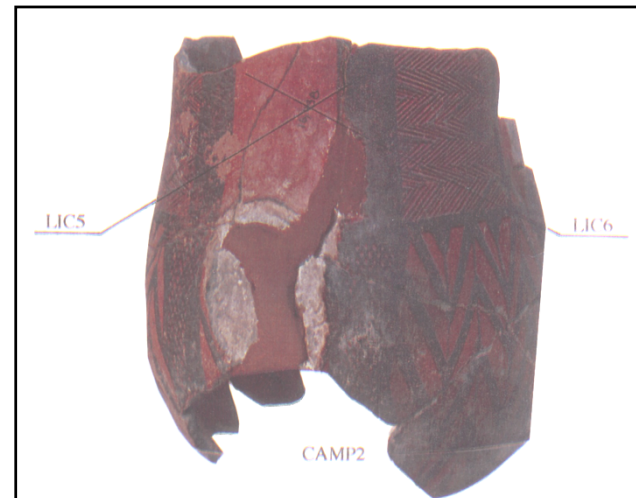
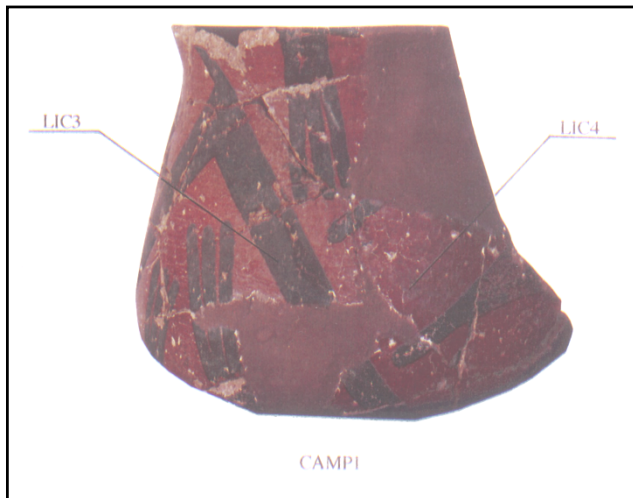
PIXE-alpha spectrum obtained from the petrological standard SCO-1

	Na ₂ O	MgO	Al ₂ O ₃	SiO ₂	P ₂ O ₅	K ₂ O	CaO	TiO ₂	Fe(III) tot
EIS	0.8 ± 0.2	2.8 ± 0.4	16.2 ± 2.2	64.7 ± 6	0.3 ± 0.2	3.5 ± 0.4	2.8 ± 0.5	0.7 ± 0.1	5.5 ± 1.6
Ref.	0.9	2.72	13.67	62.78	0.21	2.77	2.62	0.63	5.14

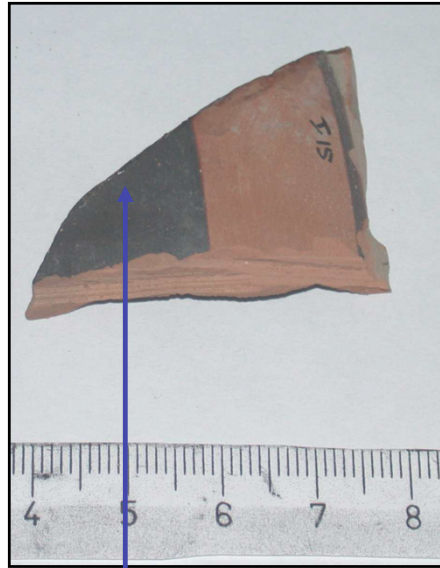
Comparison between the results of the PIXE-alpha analysis and the certified data of the SCO-1 reference standard. Values are in %.



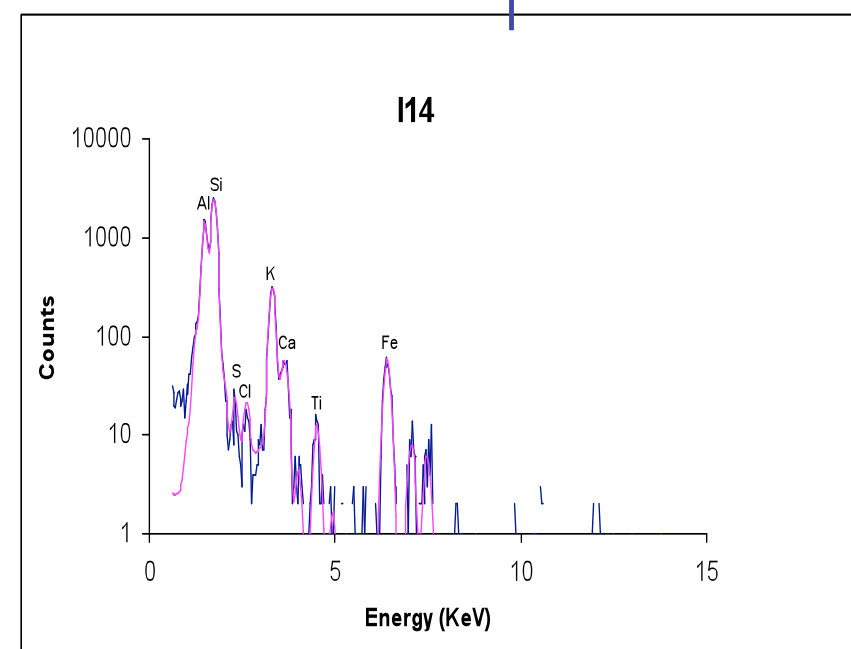
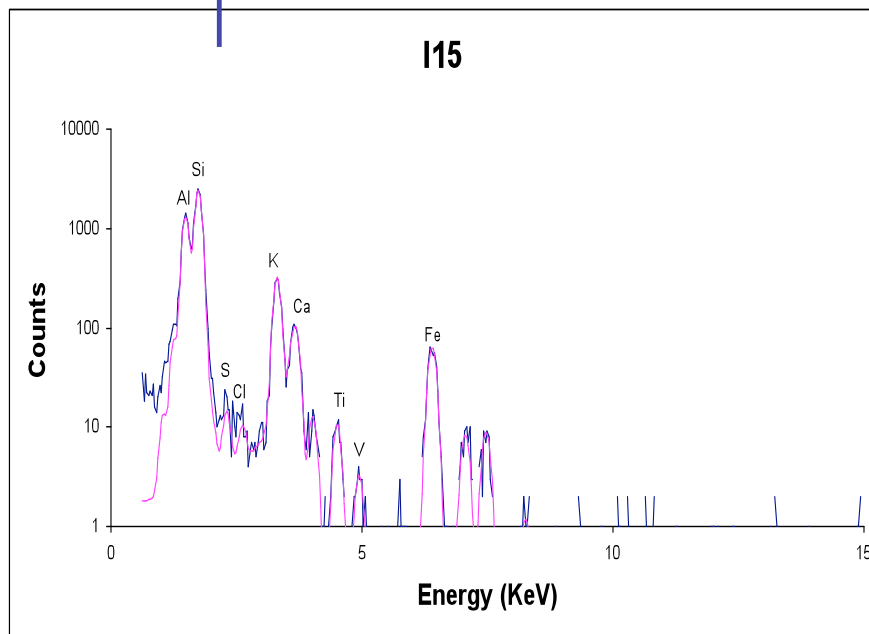
PIXE- α analysis of the red and black pigments on a Castellucciano vase, at the Archaeological Museum of Licata. The high value of the Mn/Fe (0.91) ratio in vases of Serraferlicchio style is compatible with the artificial addition of manganese powder to the "Terra d'Ombra".



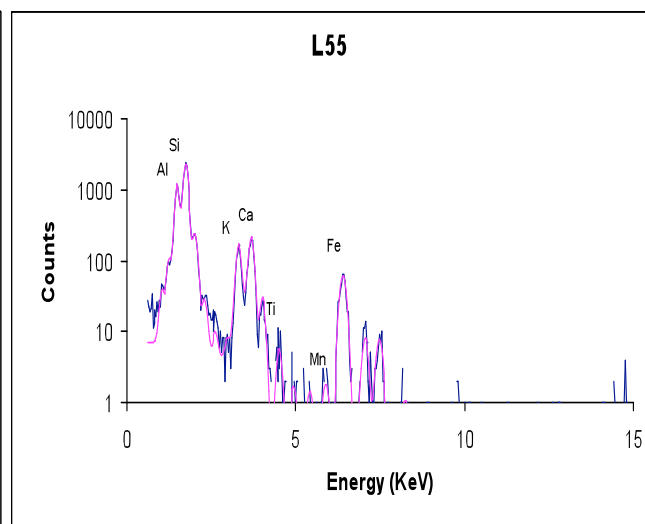
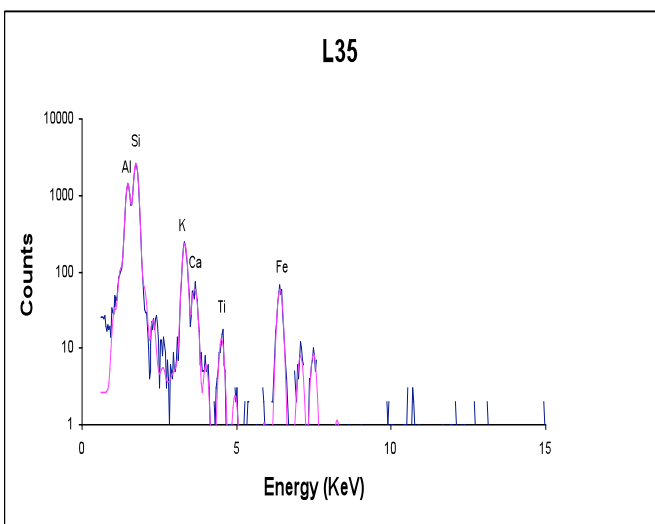
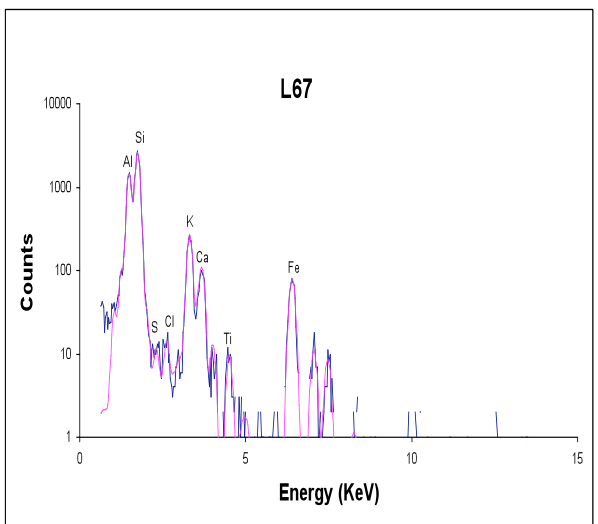
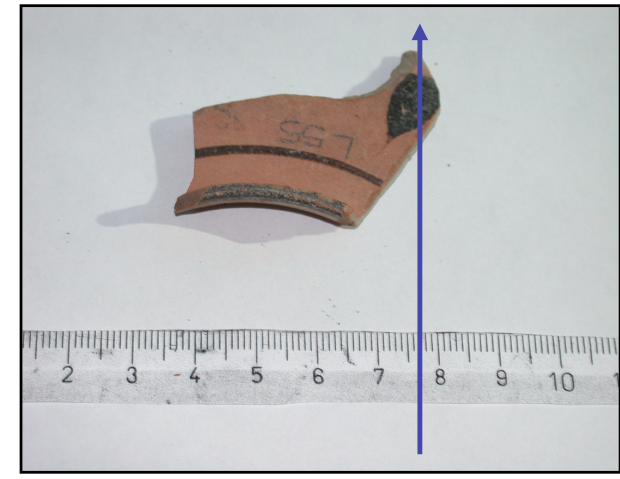
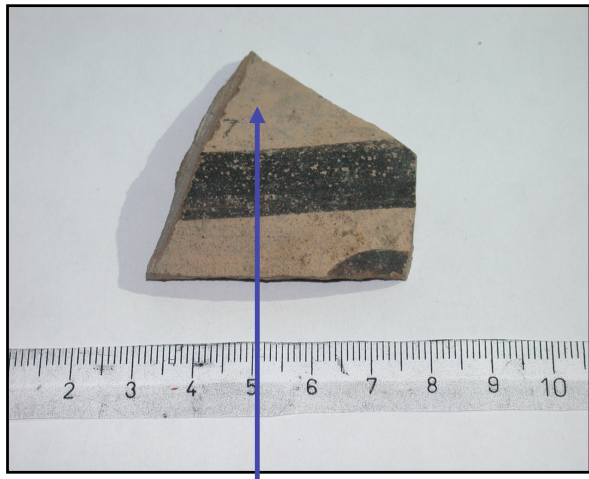
Sigla	Al	Si	K	Ti	Ca	Mn	Fe	S	Cl	Mn/Fe
Camp1 (lic3) - black	138	798	173	46	827	190	208	1115	95	0.91
“ (lic4) - red	65	664	209	7	757	3	252	965	94	0.01
Camp2 (lic5) - black	182	1305	211	9	775	145	490	729	129	0.29
“ (lic6) - red	335	2286	445	10	730	5	379	841	142	0.013
Camp3 (lic7) - white	234	1453	184	7	695	11	55	366	19	0.2
“ (lic8) - black	218	1364	152	16	564	48	125	199	64	0.38
Camp4 (lic9) - black	220	1298	249	21	330	186	294	316	206	0.63
Camp5 (lic10)-white	502	3597	199	23	575	4	200	84	34	0.02
“ (lic11) - red	353	3019	233	70	412	14	726	131	55	0.019



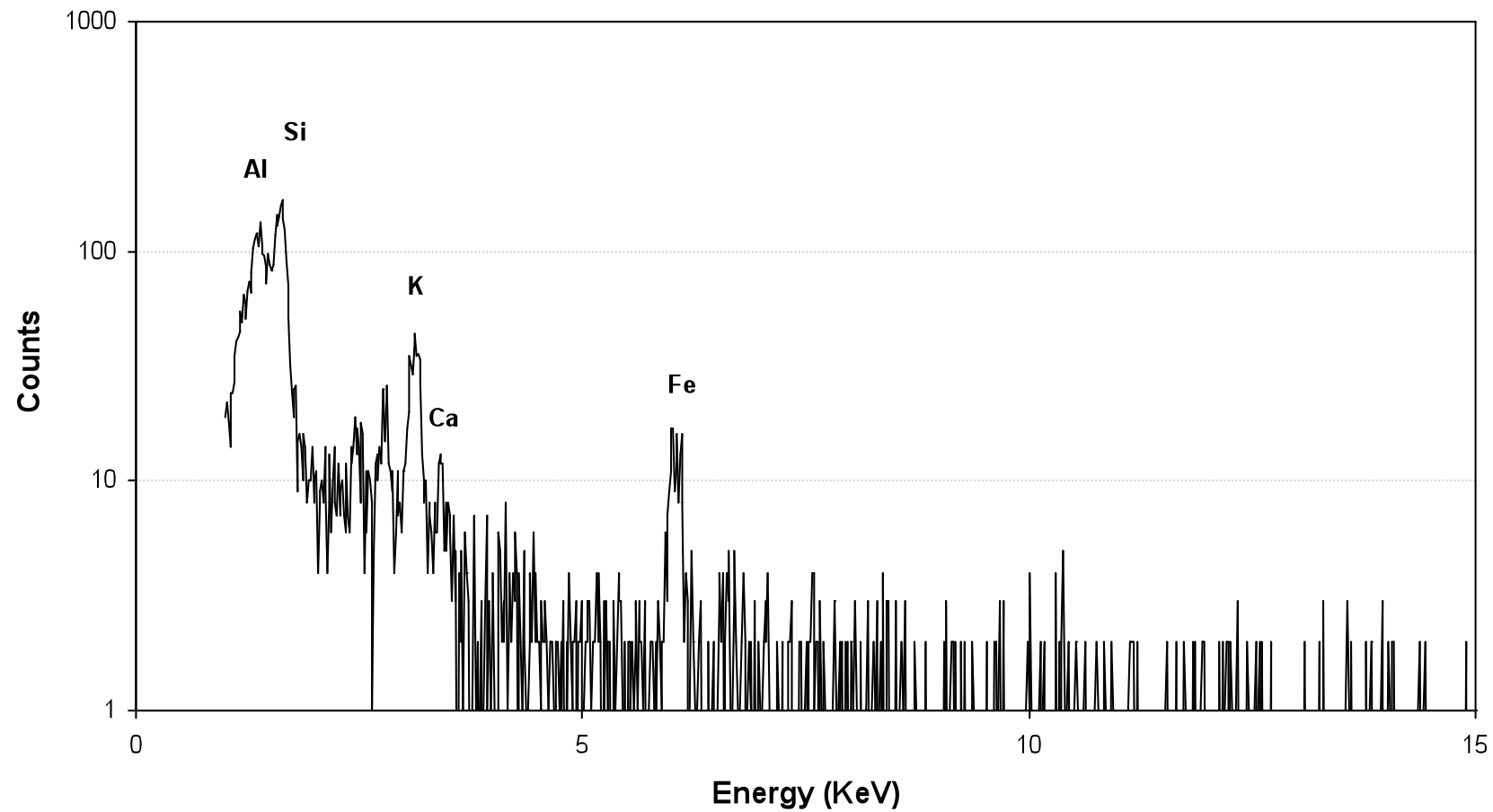
Black pigment analysis on Ionic pottery



Black pigment analysis on Local pottery



Ceramica Attica nera



	MgO	Al ₂ O ₃	SiO ₂	K ₂ O	CaO	Fe _{tot}	SEM	*****a
ATT-1	1.9	31.7	46.8	4.1	0.9	13.5	SEM	
ATT-2	1.8	31.0	46.7	5.5	0.3	13.1	SEM	
ATT-3	2.2	29.8	43.4	6.1	0.9	15.4	SEM	
ATT-4	1.9	29.2	45.6	4.7	0.6	15.3	SEM	
ATT-5	1.9	30.9	45.3	6.5	-	14.8	SEM	
ATT-6	1.6	32.4	45.8	3.0	0.3	15.5	SEM	
ATT-7 Laros8	2(1.5)	29(2)	42(2)	3.3(0.2)	0.45(0.2)	13(1)	PIXE-alpha	
L35	2.3	25	46	5.2	1.4	12.2	PIXE-alpha	
L55	2.7	22	42	3.8	7.0	15.0	PIXE-alpha	
L67	2.5	23	43	5.4	2.0	16.0	PIXE-alpha	
I14	2.9	25	45	7.0	1.0	13.4	PIXE-alpha	
I15	2.9	24	43	6	2.8	13.4	PIXE-alpha	

*Maniatis et Al. 1993 - *New evidence for the nature of the attic black gloss.* Archaeometry 35, pp.23-24

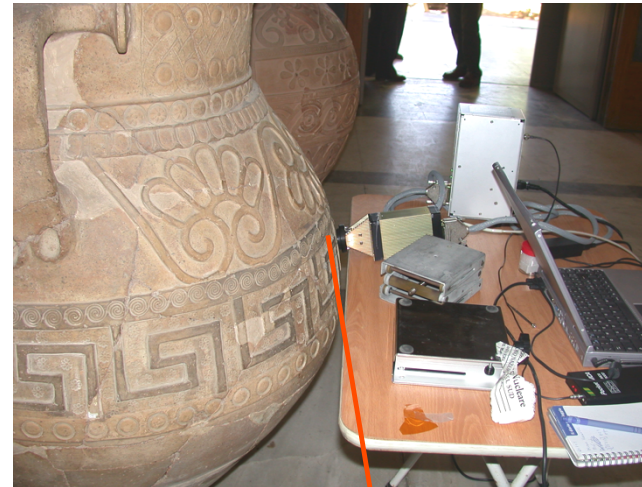
Comparison between the compositions, in %, of black “gloss” on attic pottery coming from different areas and the compositions of black pigments on “local” and “ionic” pottery coming from the Votive Deposit of S.Francesco in Catania.

VASE A (18713)

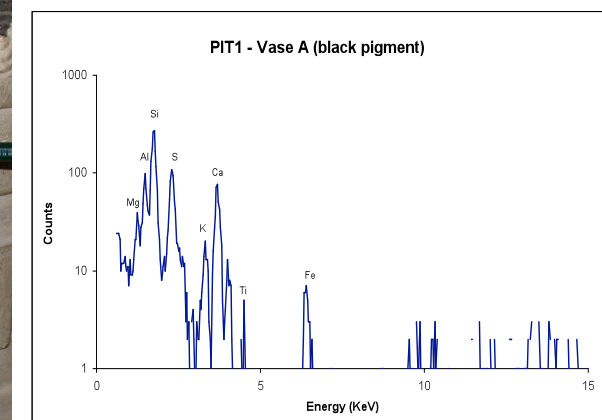
PIT2

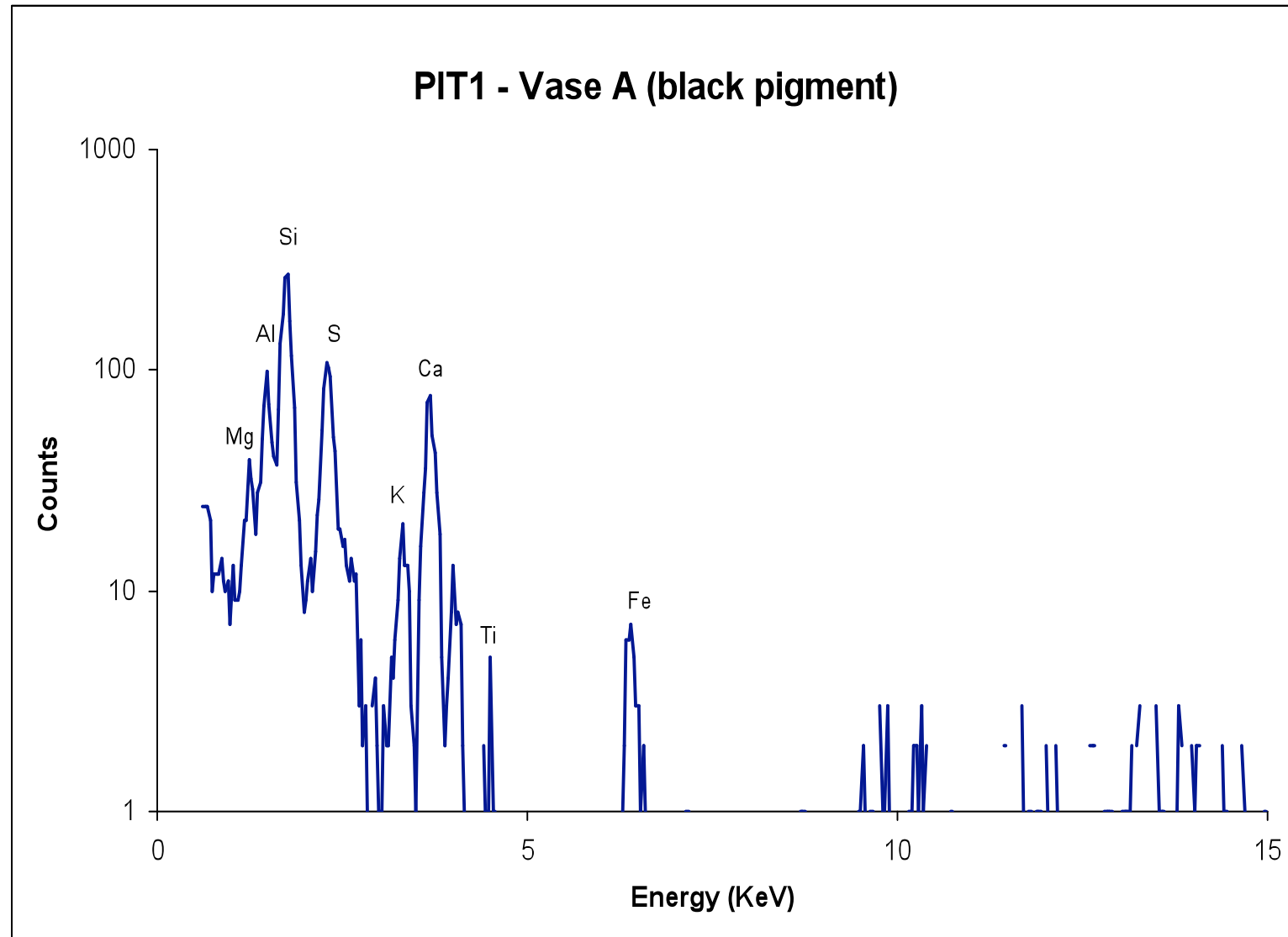


PIT 1

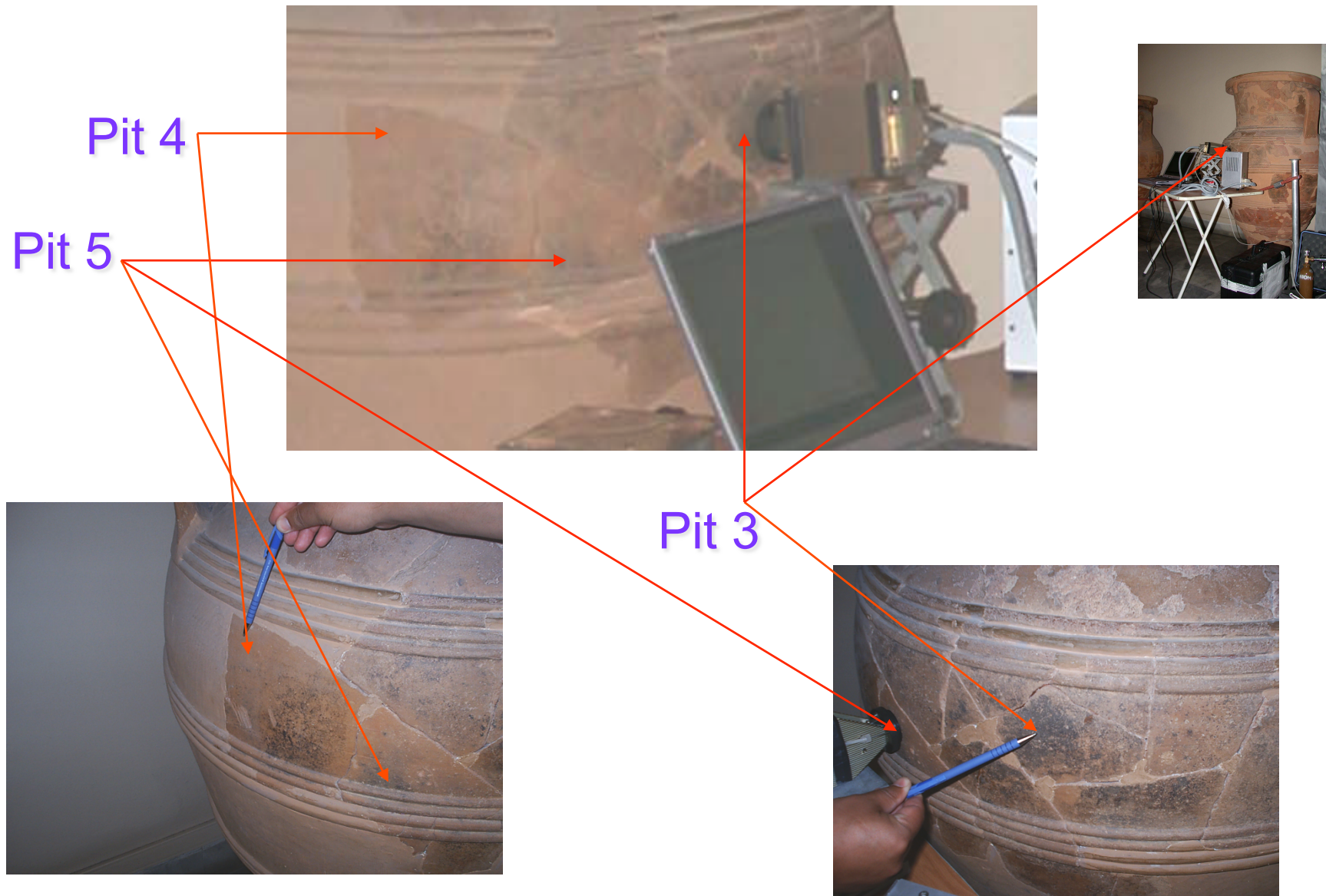


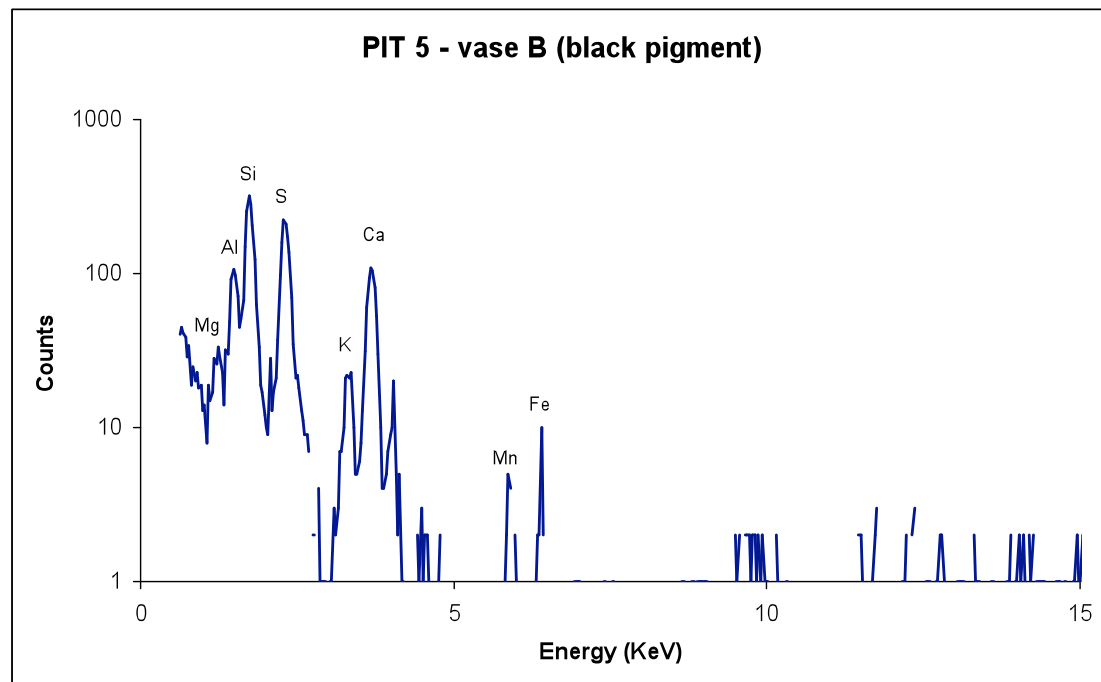
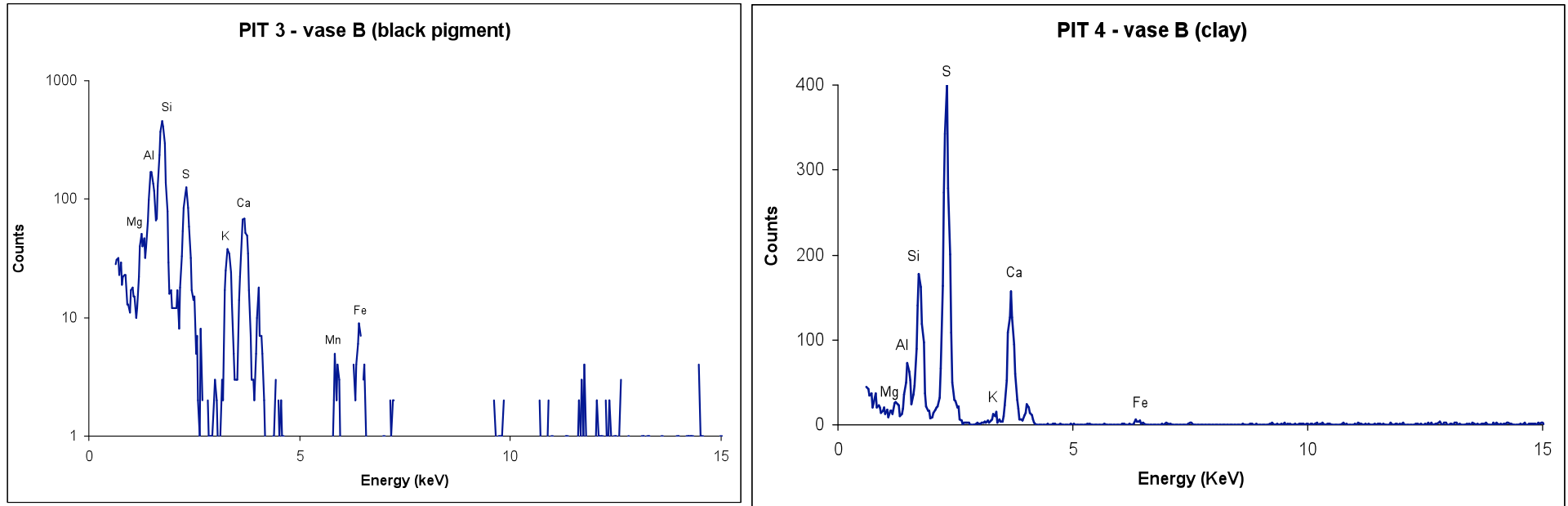
PIT 1





VASE B



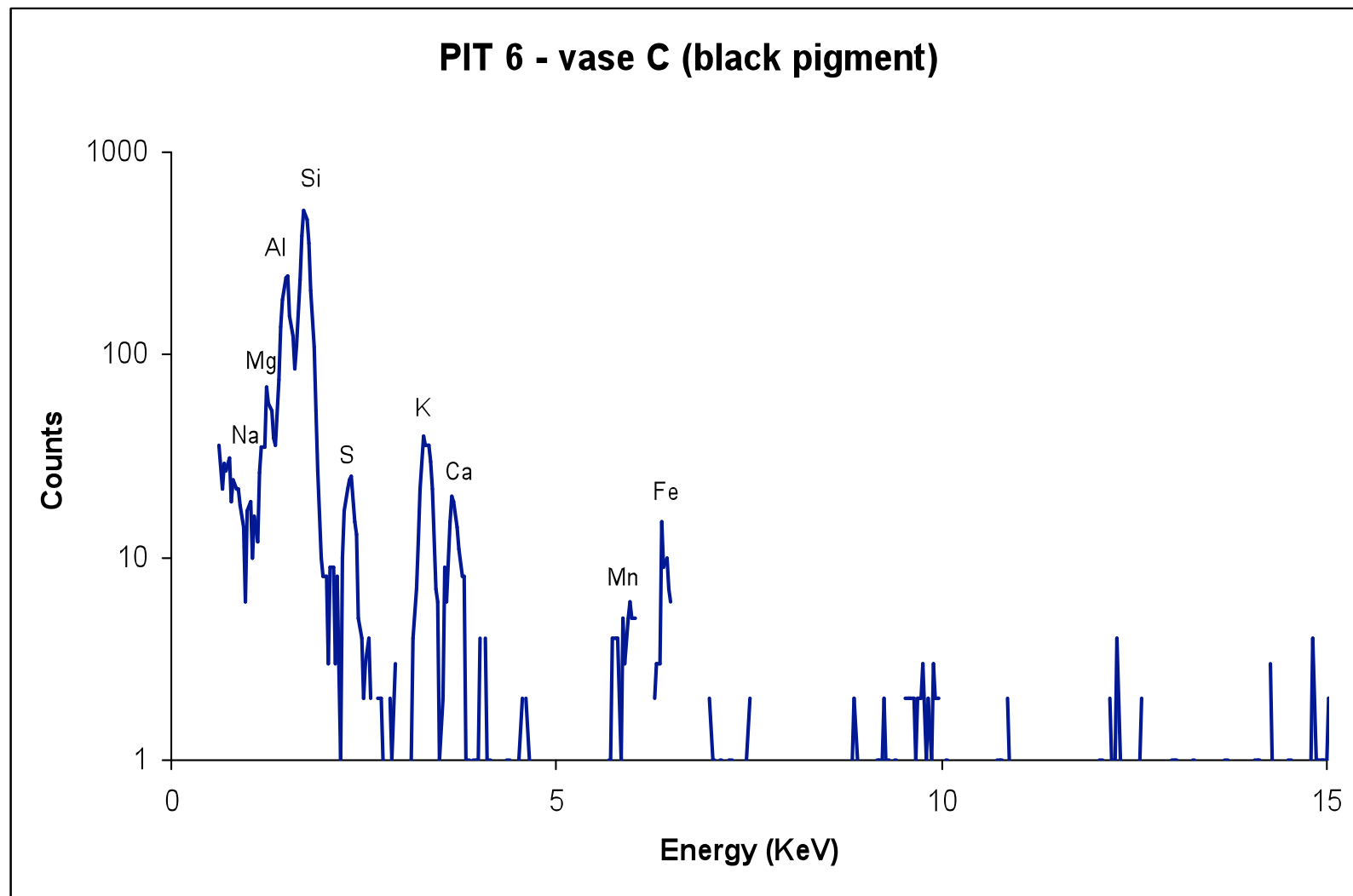


VASE C



Pit 6





PIXE-alpha results (values in %)

	Na2O	MgO	Al2O3	SiO2	P2O5	SO3	ClO	K2O	CaO	TiO2	MnO	Fe2O3
PIT1 A	3.1 ± 1.7	6.9 ± 0.7	11.7 ± 0.8	31.2 ± 1	0	16.5 ± 0.9	0.91 ± 0.2	2.3 ± 0.3	16.4 ± 1	1.1 ± 0.55	0	9.5 ± 2
PIT2 B	n.d.	6 ± 0.9	11.4 ± 0.9	35.1 ± 1.4	n.d.	17 ± 1	n.d.	1.4 ± 0.35	14.5 ± 1	1.3 ± 0.5	0	8.5 ± 2.1
PIT3	n.d.	5 ± 0.7	13.8 ± 0.7	36.3 ± 1	0.9 ± 0.36	13.3 ± 0.6	n.d.	4.8 ± 0.4	12.11 ± 0.7	n.d.,	3.2 ± 0.89	7.2 ± 1.8
PIT4 C	n.d.	2.8 ± 0.5	5.8 ± 0.5	13.5 ± 0.5	n.d.	37.9 ± 1.1	0.4 ± 0.1	0.8 ± 0.2	26.2 ± 1	0	0	6 ± 1.5
PIT5	0	4.2 ± 0.6	10.2 ± 0.7	25.8 ± 0.7	1.6 ± 0.5	25.1 ± 0.7	0.5 ± 0.1	2.4 ± 0.3	19.1 ± 0.8	0.7 ± 0.3	2.7 ± 0.8	5.4 ± 1.6
PIT6 D	0	7.6 ± 0.6	21.5 ± 0.8	43 ± 0.8	1.2 ± 0.4	3 ± 0.3	0	4.6 ± 0.3	2.9 ± 0.4	n.d.	2.7 ± 0.9	11.8 ± 1.8



Inv. 1548



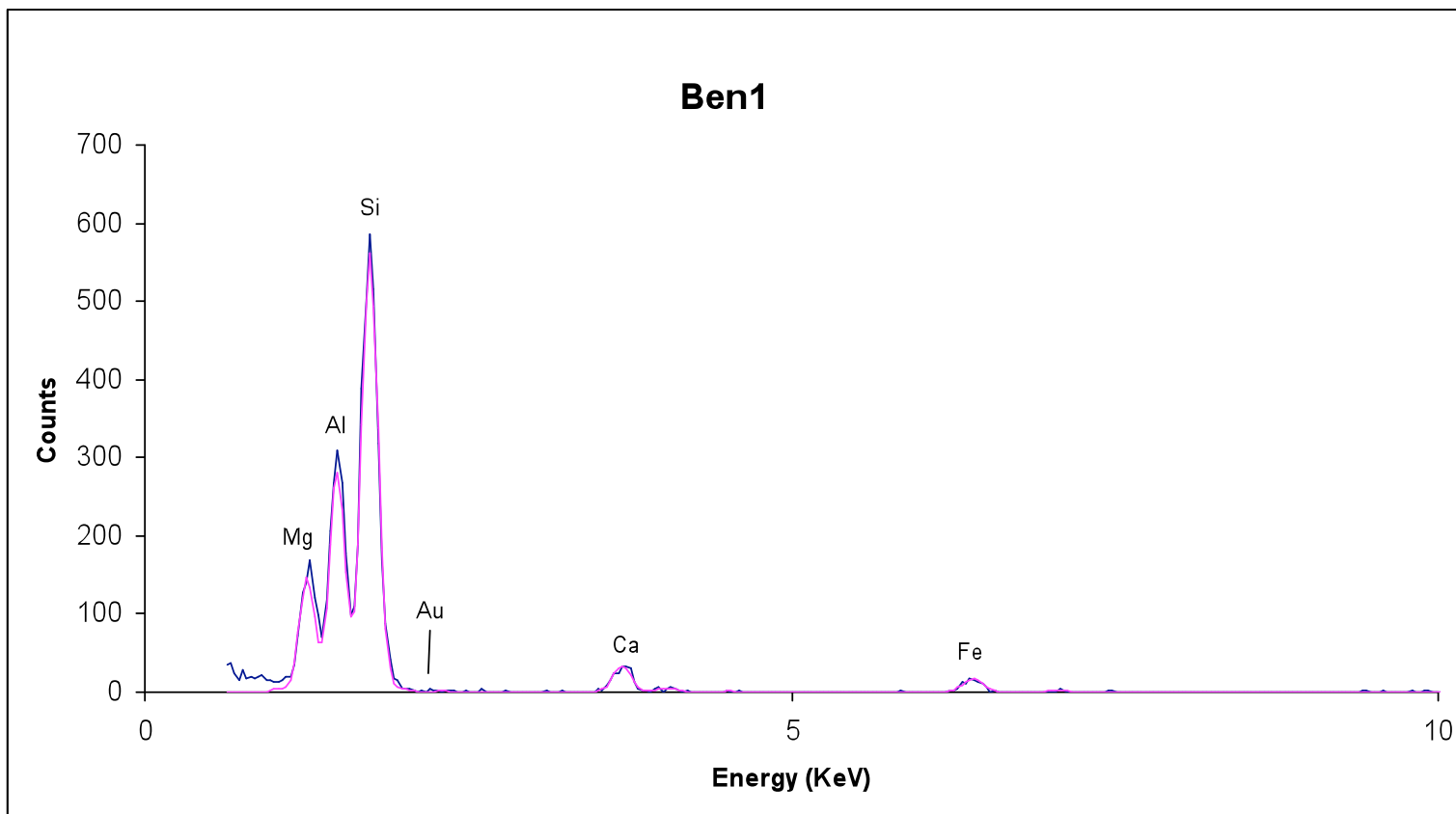
Inv. 1551



Inv. 1562

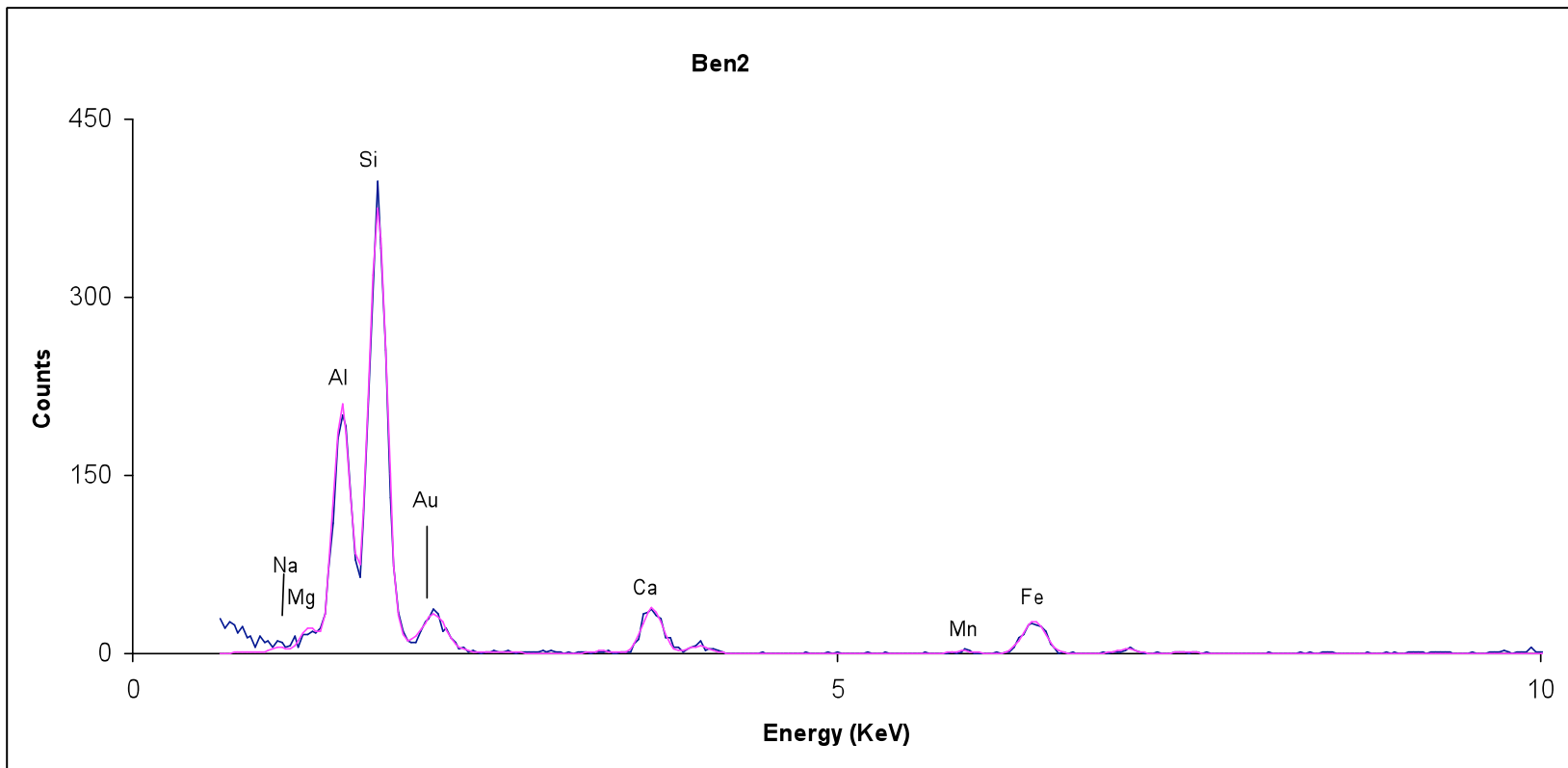


Inv. No 1551



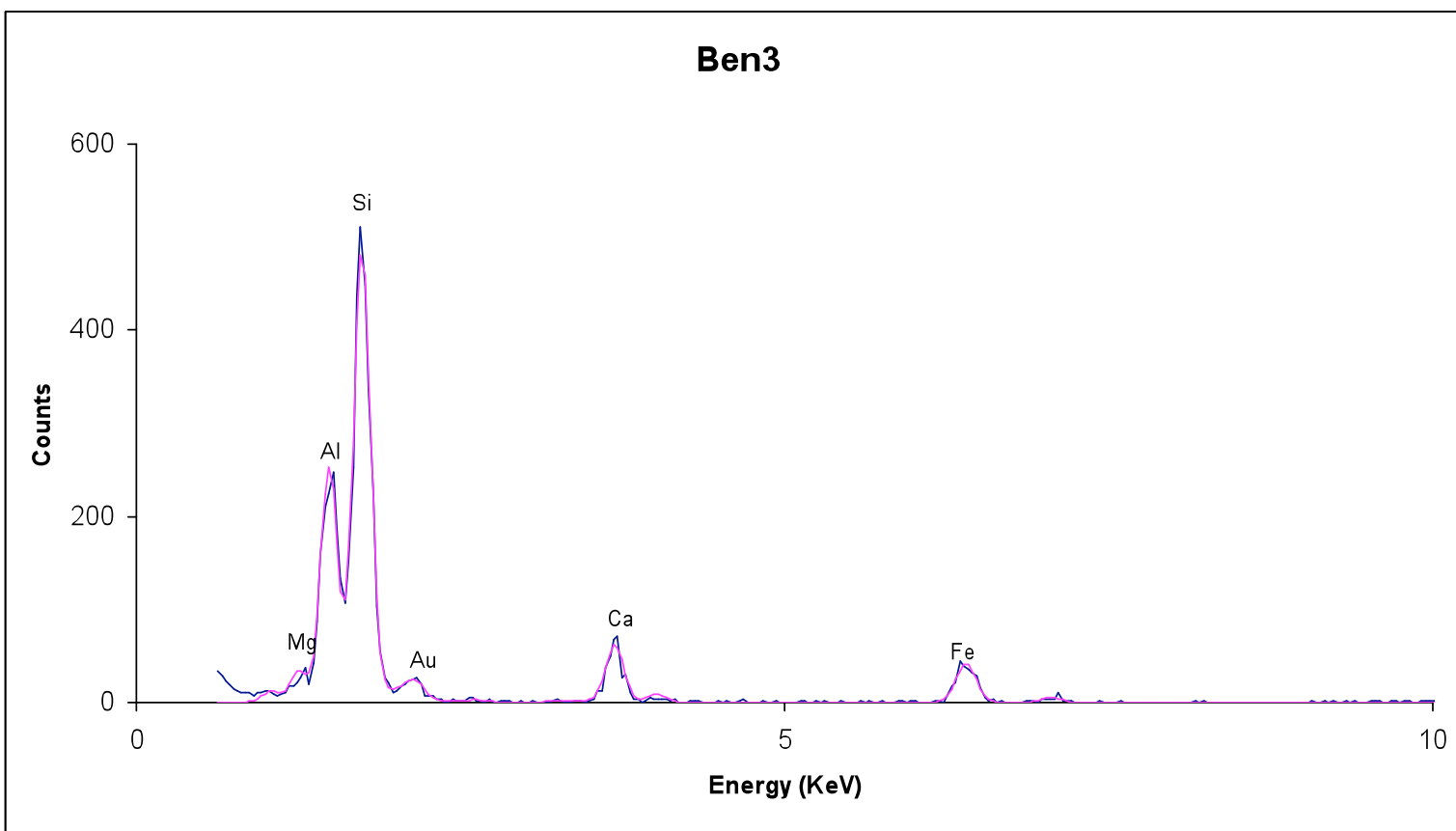


Inv. No 1548





Inv.No 1562



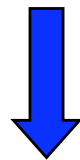
PIXE results, performed by GUPIX 2003 CODE

(Maxwell J., Teesdale A., Campbell J. L, 2003), in the “Matrix Calculation” Mode
 (Values are in %)

BEN 1 - 1551	Na ₂ O	MgO	Al ₂ O ₃	SiO ₂	CaO	MnO	FeO	NiO	Au ₂ O ₃
	1.45	15.141	21.37	40.85	4.52	0.37	13.93	1.74	0

BEN 2 - 1548	Na ₂ O	MgO	Al ₂ O ₃	SiO ₂	CaO	MnO	FeO	NiO	Au ₂ O ₃
	1.85	3.18	19.61	32.85	5.93	1.58	24.65	2.22	5.88

BEN 3 - 1562	Na ₂ O	MgO	Al ₂ O ₃	SiO ₂	CaO	MnO	FeO	NiO	Au ₂ O ₃
	3.69	4	18.91	33.5	7.16	0.31	28.3	0	3.2

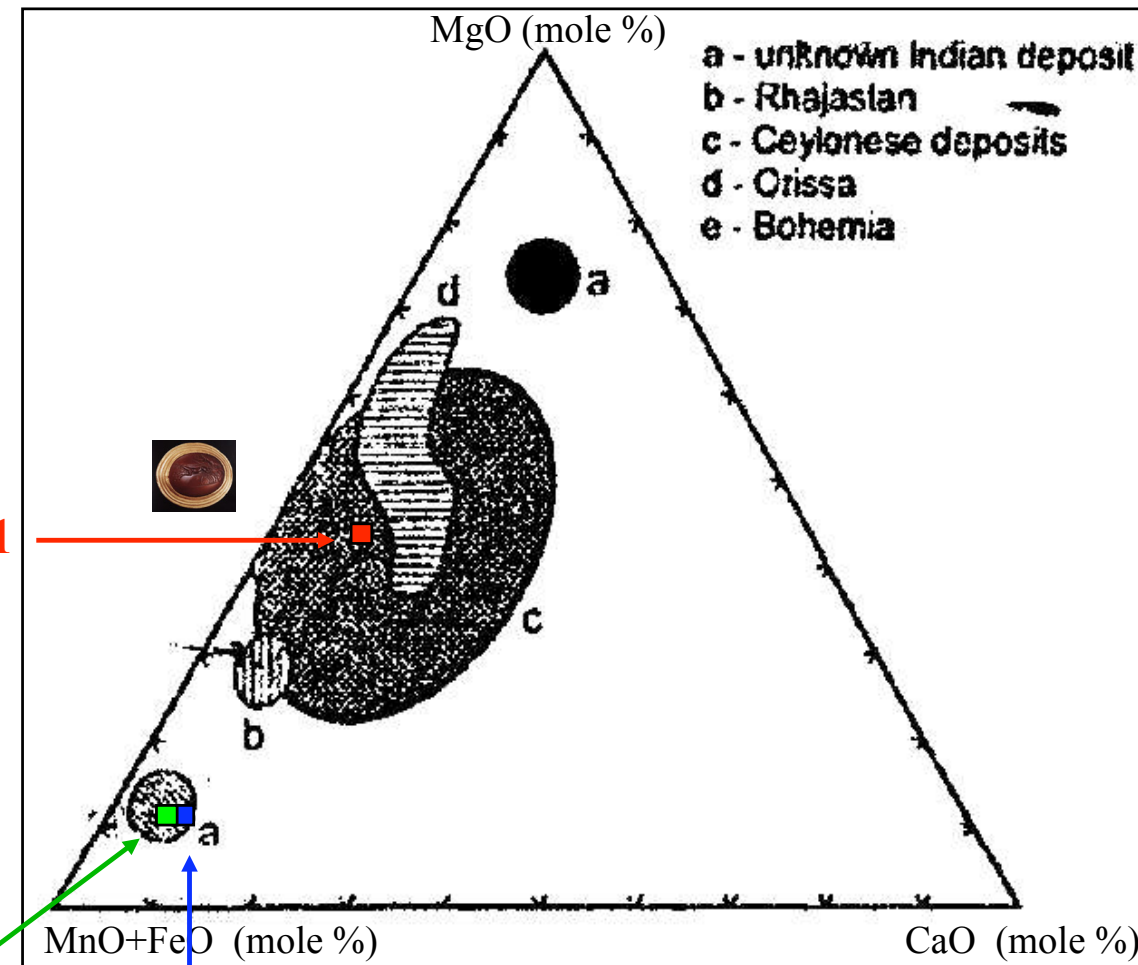


$\text{Fe}_3\text{Al}_2(\text{SiO}_4)_3$
 Almandine-type

	Stechiometric formula of Granite	BEN 1	BEN 2	BEN 3
Al (%)	13.3	12	10	10
Si (%)	20.1	20	16	16



$\text{Mg}_3\text{Al}_2(\text{SiO}_4)_3$
 (Pyrope-type)



(from D. Quast, U. Schlusser, Germania 78, 2000, 1)

PIXE- α

XRF

XRD

NON DESTRUCTIVE

IN SITU, at the Chora archaeological Museu

Major and minor elements determination,
starting from Na to Zn (K lines) and higher Z
elements (L and M lines)

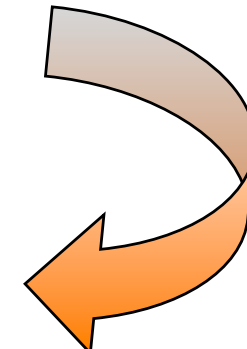
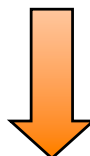
Some medium Z trace elements
determination (Cr and Y) and high Z
(Pb, Hg, Cd)

Determination, where
necessary, of the probable
mineral species characterizing
the pigment.

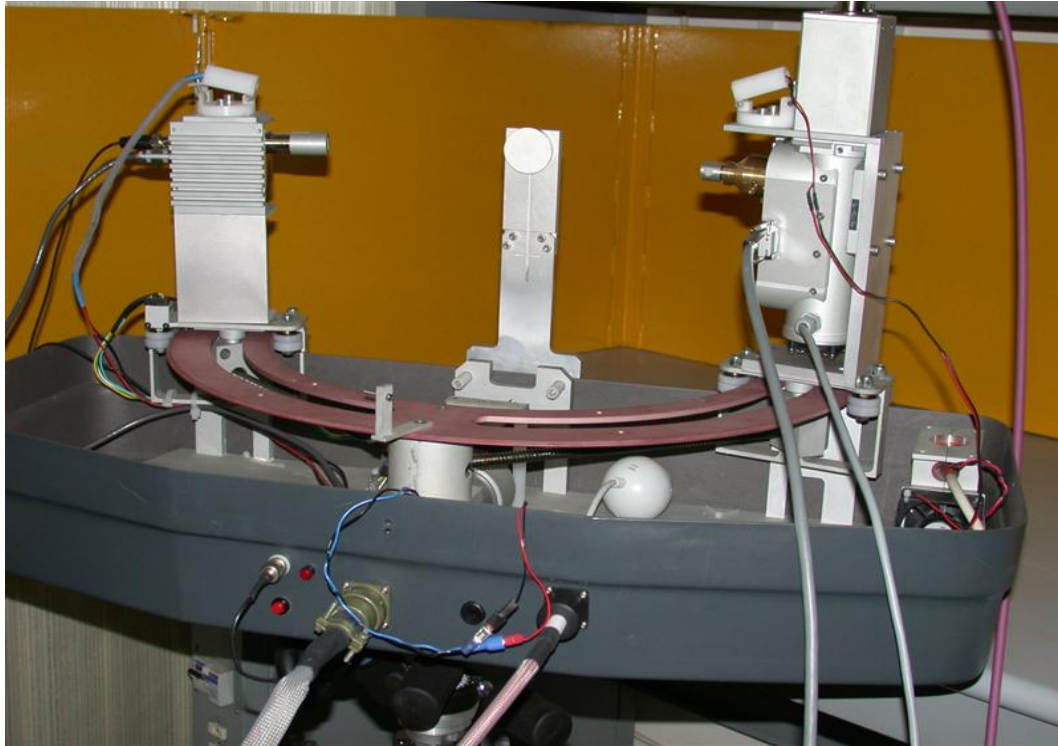
DETERMINATION OF THE CHEMICAL COMPOSITION OF THE PIGMENT

DETERMINATION OF THE PIGMENT NATURE

QUANTITATIVE ANALYSIS

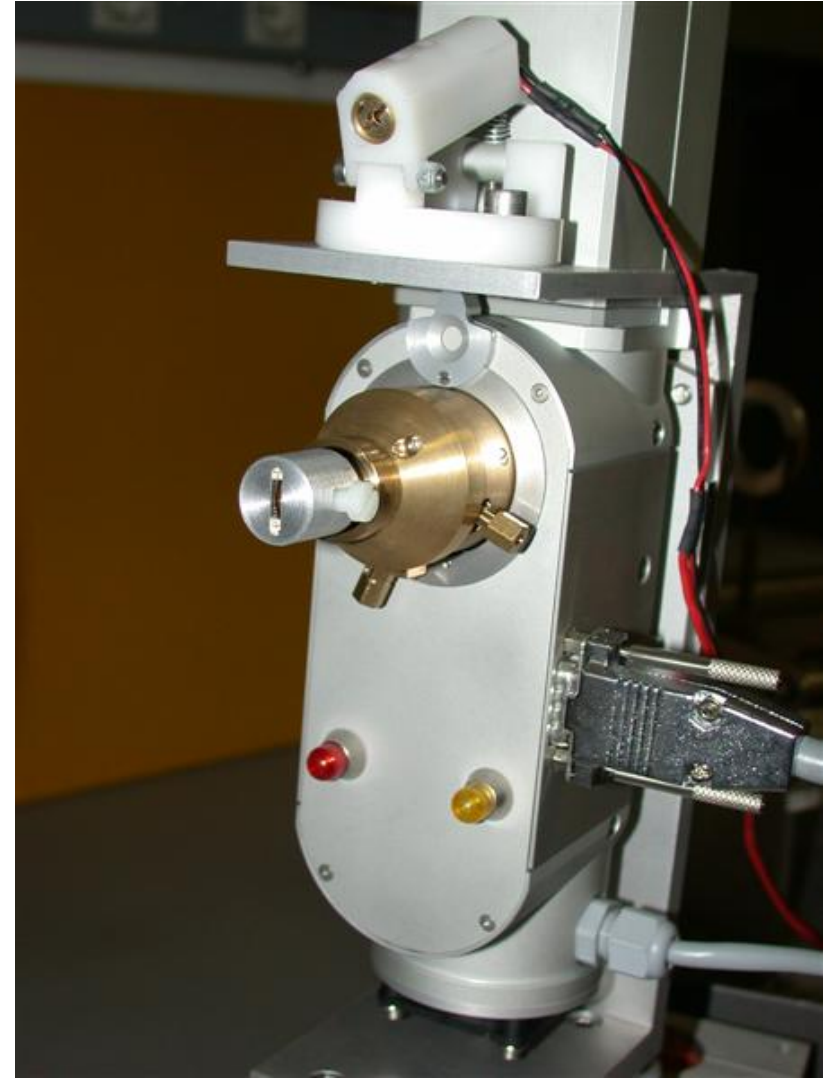


LA NUOVA VERSIONE DEL SISTEMA XRD

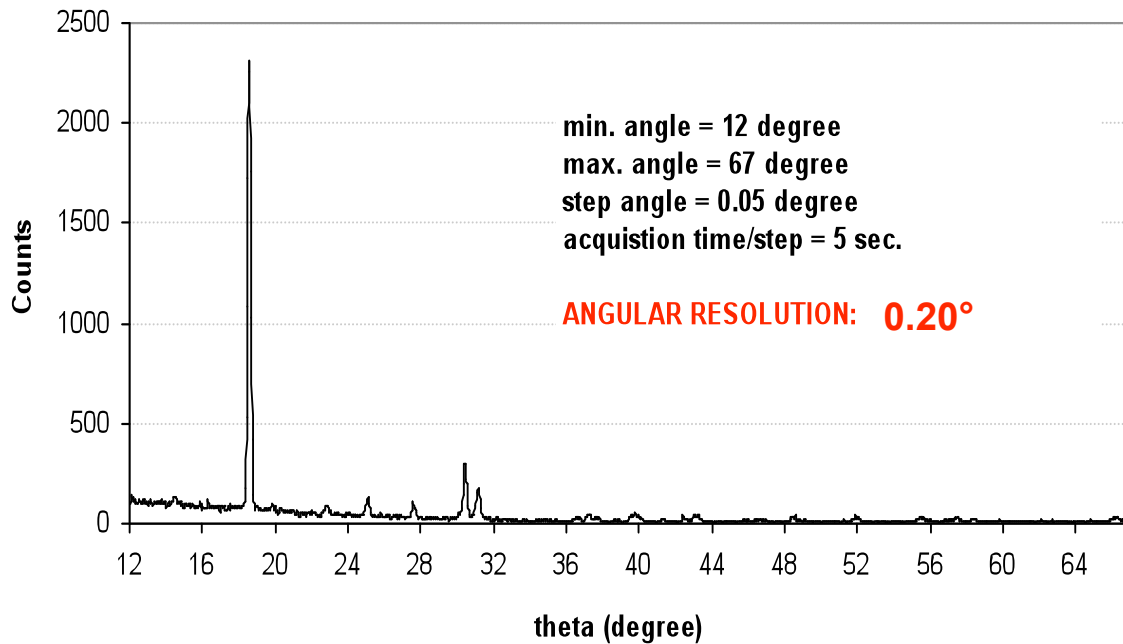


SORGENTE X: Tubo microfocus da 10 Watt con anodo di Fe accoppiato ad un'ottica policapillare parallelizzante. Lo spot del fascio è pari a 0.6 cm.

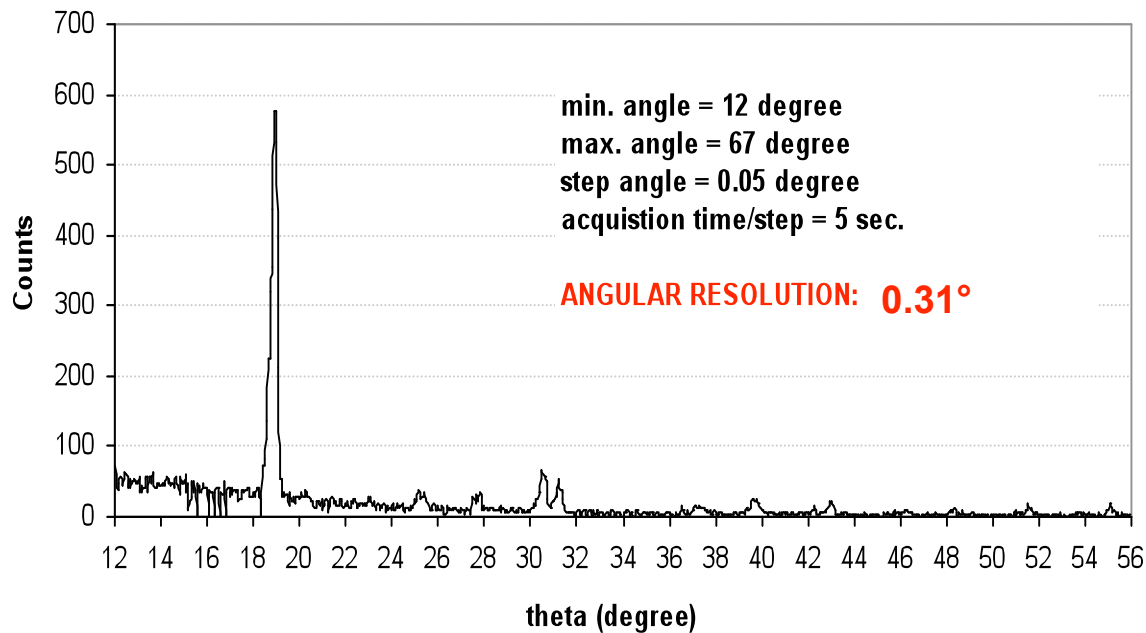
DETECTOR: rivelatore Si-PIN da $25 \text{ mm}^2 / 500 \mu\text{m}$ e risoluzione in energia pari a 190 eV @ 5.9 keV



CALCITE - NUOVA VERSIONE DEL SISTEMA XRD

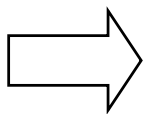
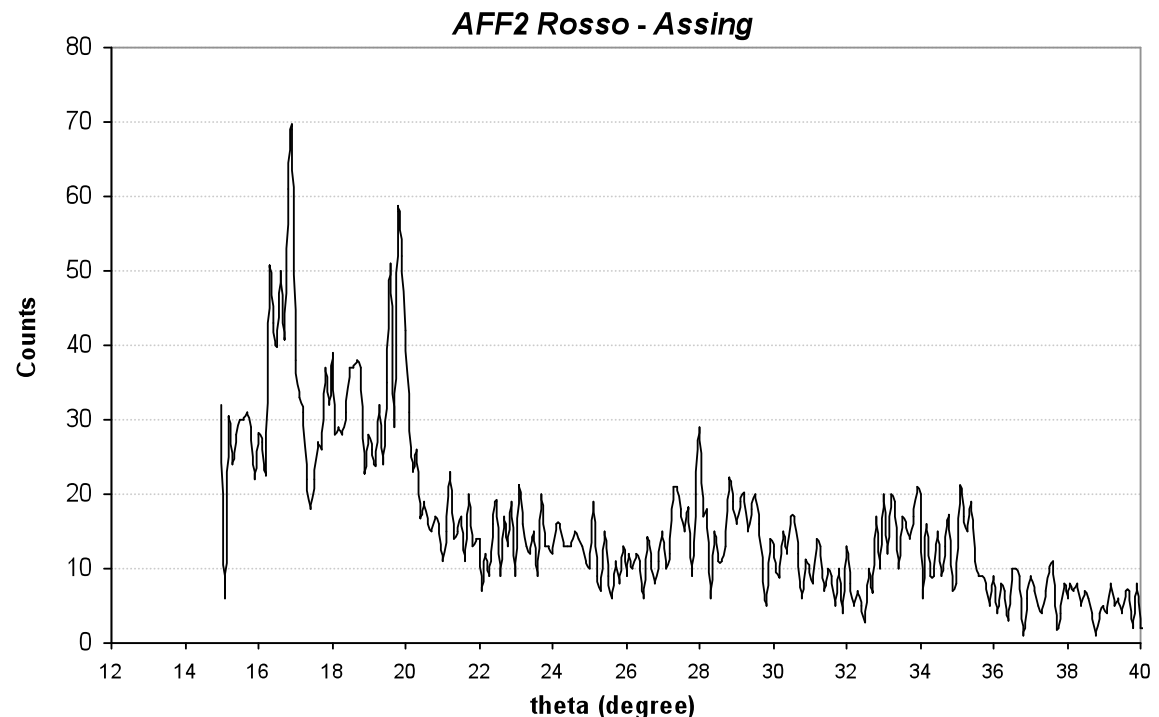
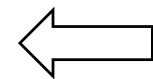
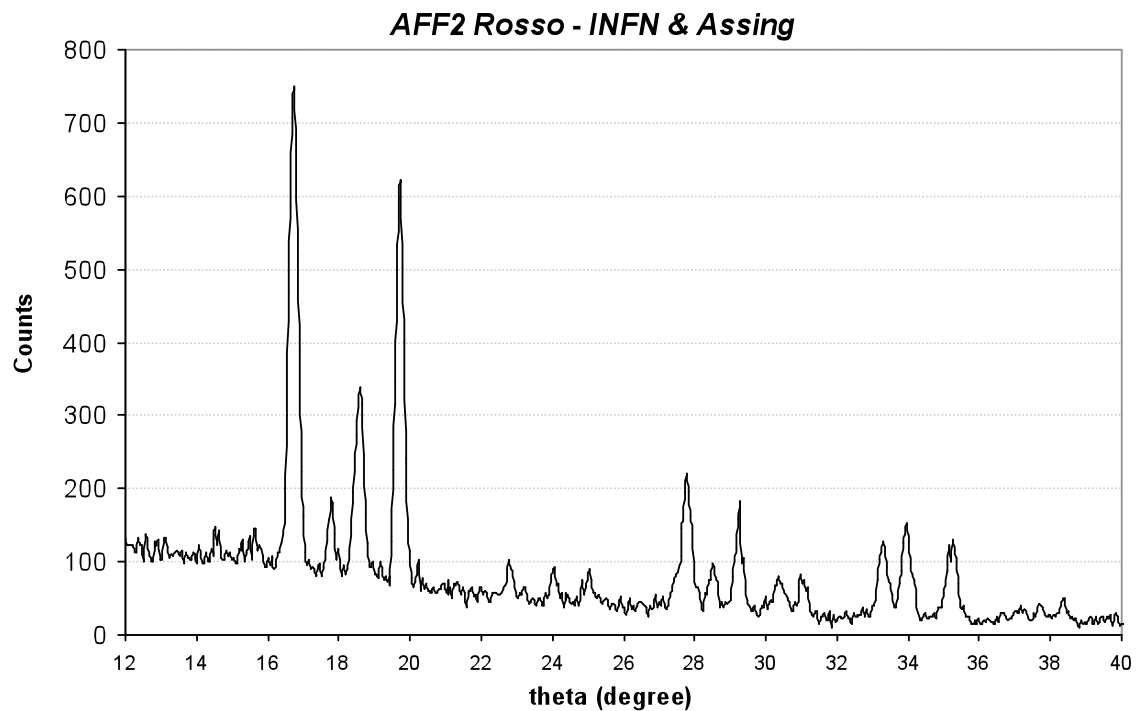


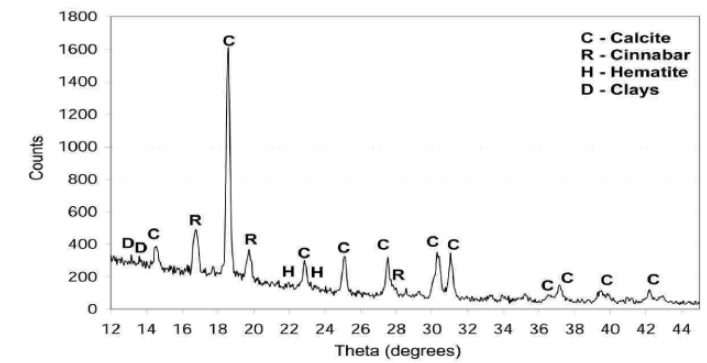
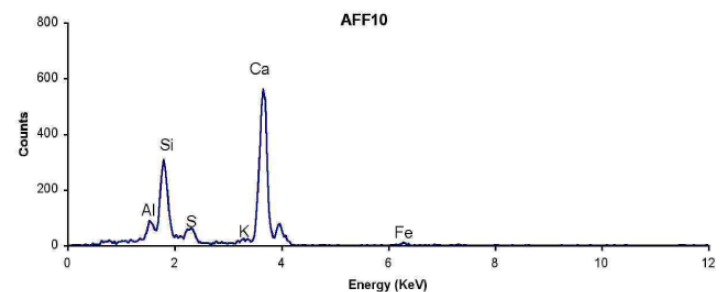
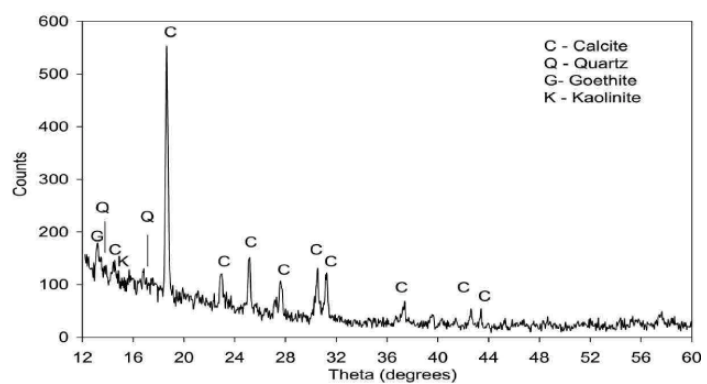
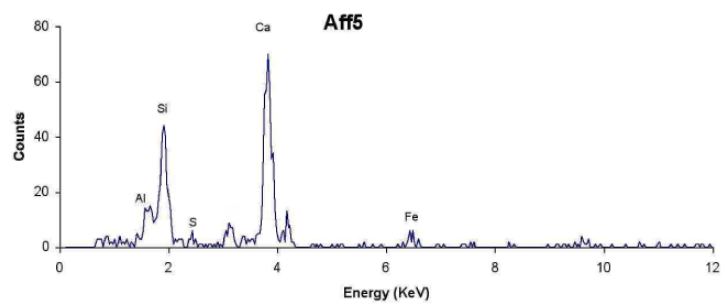
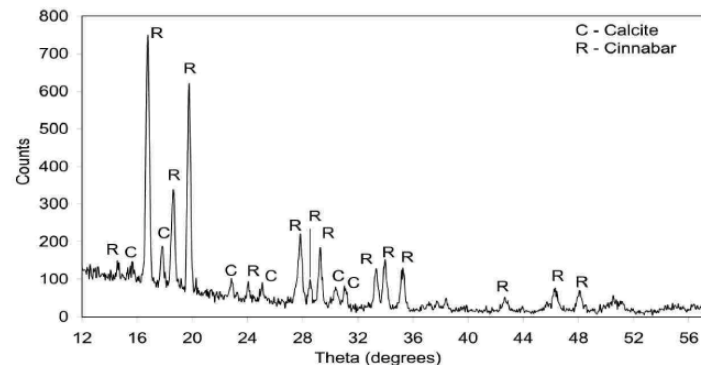
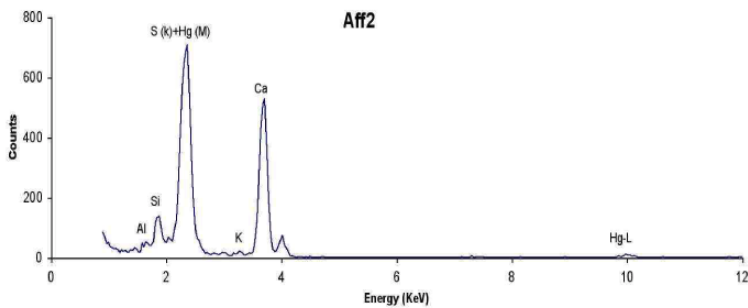
CALCITE - SISTEMA XRD ASSING

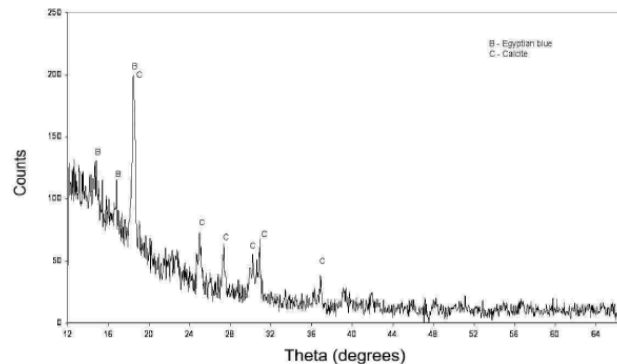
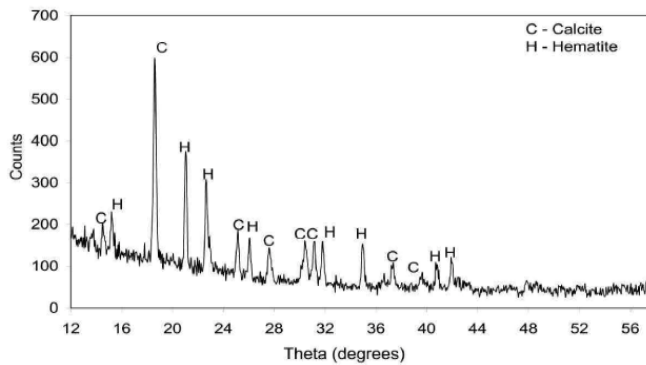
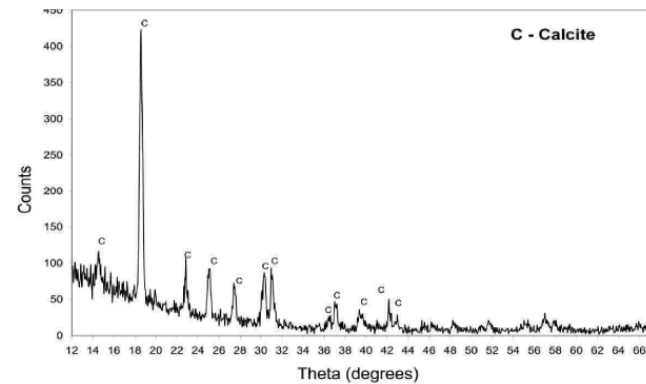
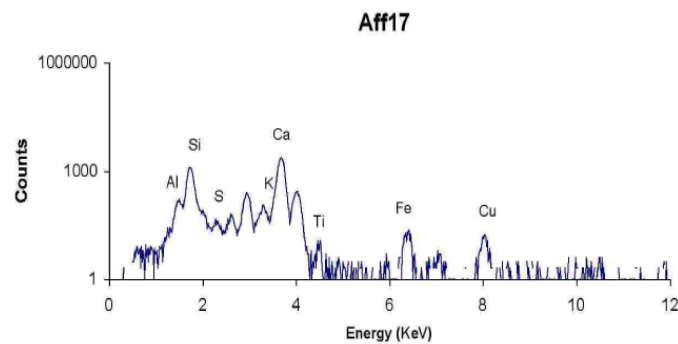
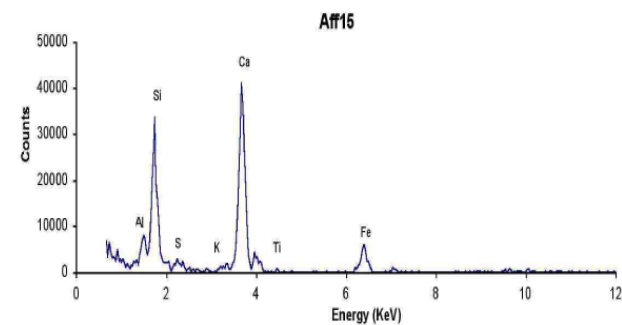
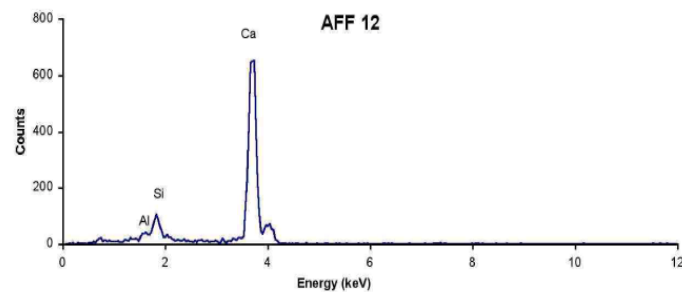


Risultati:

- Risoluzione angolare migliore del 40% rispetto la versione commerciale
- Intensità dei picchi di diffrazione un fattore 4-5 maggiore operando alle stesse condizioni sperimentalì
- Tempi ridotti da 3 ore a circa 45 minuti.







Others* (Na, Mg, Al, P, S, Cl, K and O)

Fresco samples	Colour	CaCO ₃ (%)	Al ₂ O ₃ (%)	SiO ₂ (%)	HgS (%)	Fe ₂ O ₃ (%)	CuO(%)	Others* (%)	C.F.	Pigments **
Aff2	Bright red	60.2 ± 1.8	0.7 ± 0.2	2.0 ± 0.3	32.9 ± 3.3	nd	n.d	3.9	1.00	Cinnabar (32.9 %)
Aff10	Red	75.2 ± 1.8	3.5 ± 0.3	10.9 ± 0.4	2.8 ± 0.4	3.6 ± 0.8	n.d	negligible	1.00	Cinnabar (2.8 %) Red earth (Hematite 3.6%)
Aff12	White	90.4 ± 1.9	1.6 ± 0.2	3.3 ± 0.2	nd	nd	n.d	4.3	1.02	Calcite (90%)
Aff15	Brown	53.3 ± 1.6	3.5 ± 0.7	11.7 ± 0.6	nd	28.3 ± 1.0	n.d	4.2	1.01	Red ochre (Hematite 28.3%)
Aff5	Yellow	58.8 ± 3.5	6.9 ± 1.2	13.2 ± 1.3	n.d.	FeO(OH) 4.2 ± 2.0	n.d.	16.84	1.04	Yellow ochre (Goethite 4.2%)
Aff17	Blue	56 ± 1	6.8 ± 0.4	29 ± 0.6	nd	1.6 ± 0.3	2.6 ± 0.4	4.0	1.01	Egyptian blue (13 %), Calcite

** Only the main components are reported.

Calcite and quartz are to be considered as pigments and /or as plaster components.

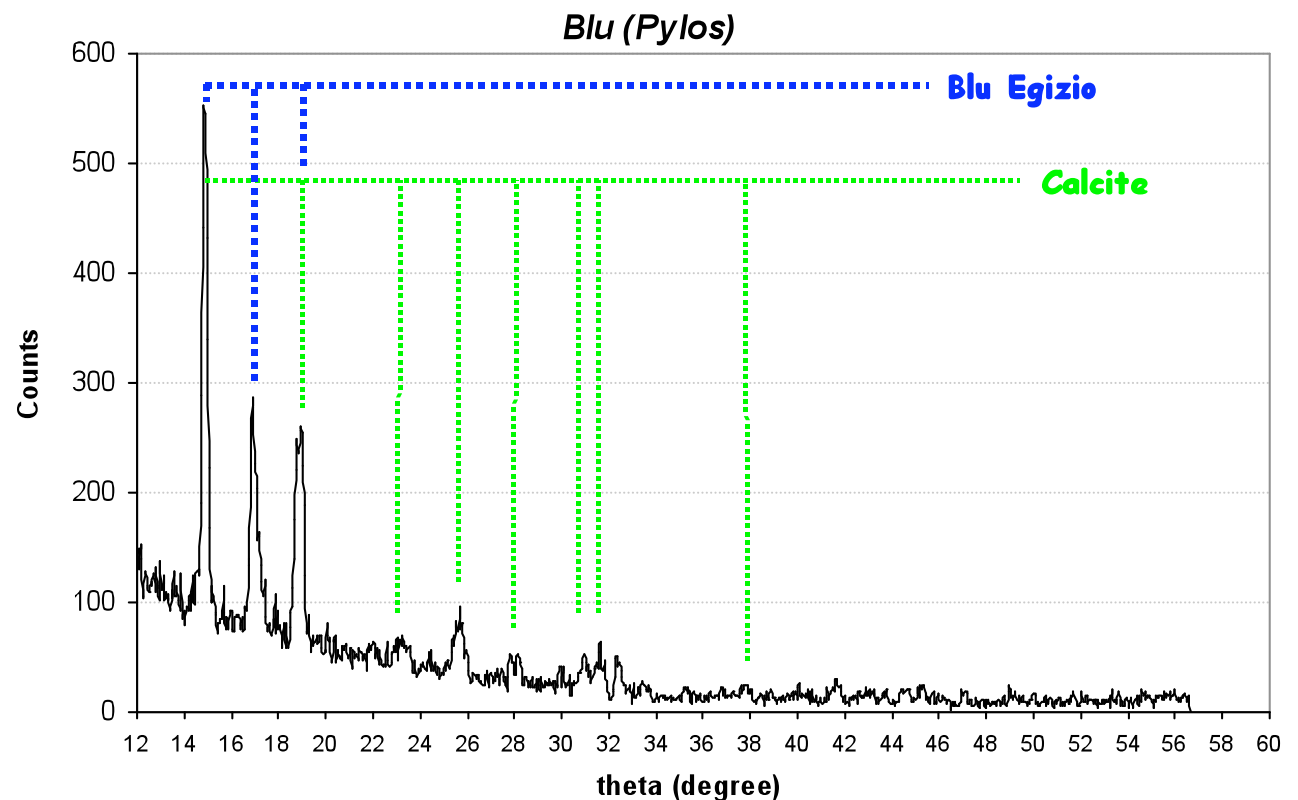
ESEMPIO DI APPLICAZIONE QUALITATIVE IN SITU





Caratterizzazione di un frammento delle pitture murali del Palazzo di Nestore (Pylos, Grecia)

min. angle = 12 degree
max. angle = 67 degree
step angle = 0.05 degree
acquisition time/step = 5 sec.



GRAZIE PER L'ATTENZIONE